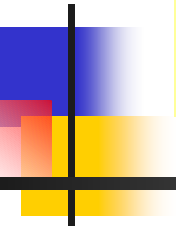


NANOSTRUCTURE OF NUCLEAR POWER PLANTS MATERIALS

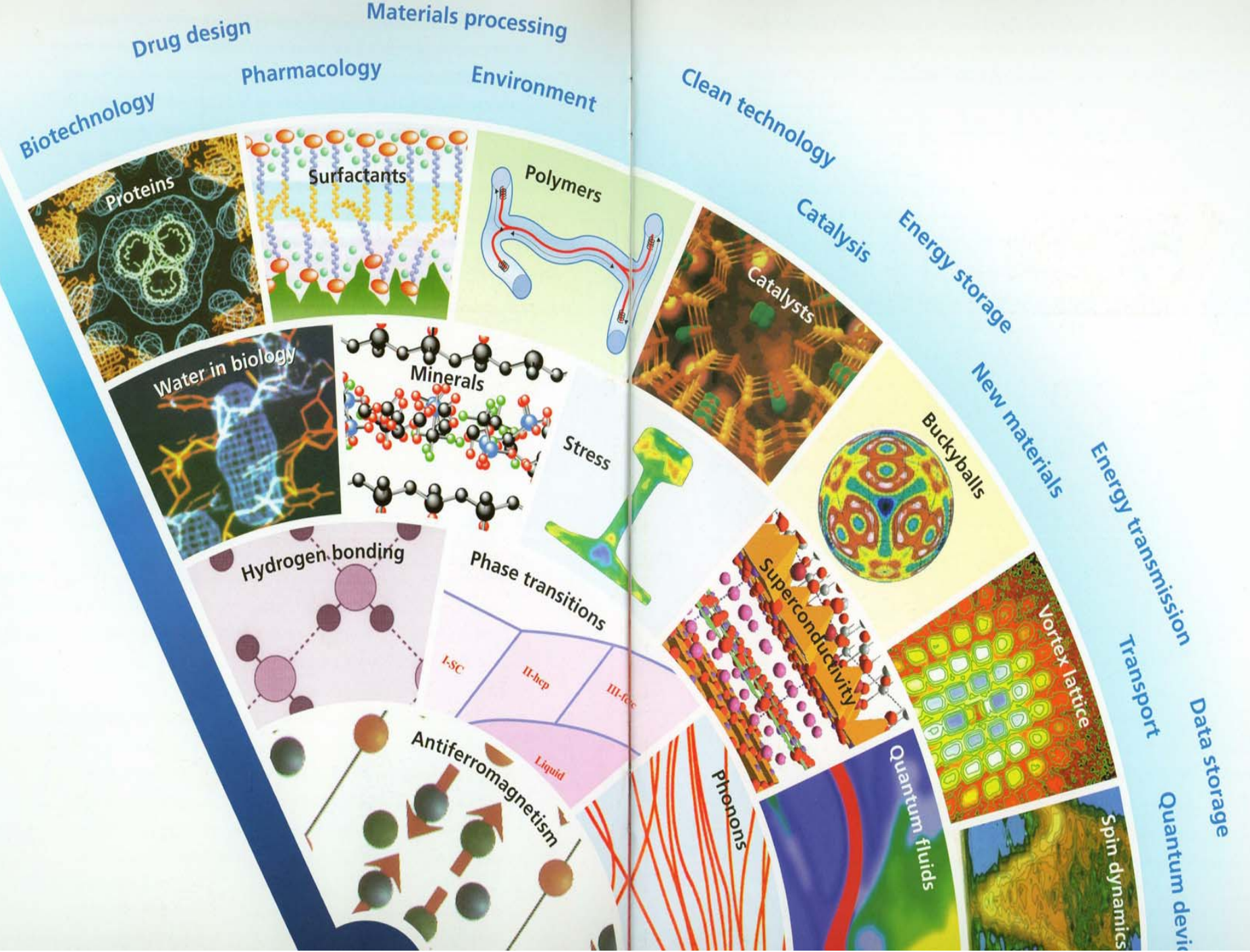


V.T.Lebedev¹, Gy.Torok², V.M.Lebedev¹, A.N.Lapin³, V.A.Petrov³, B.Z.Margolin³

¹ Petersburg Nuclear Physics Institute, 188300 Gatchina, Leningrad distr., Russia

² Research Institute for Solid State Physics and Optics, Budapest, Konkoly -Thege st. 29-33, Hungary

³Central Research Institute for Materials' Design "Prometey", 193015 St.Petersburg., Shpalernaya st. 49



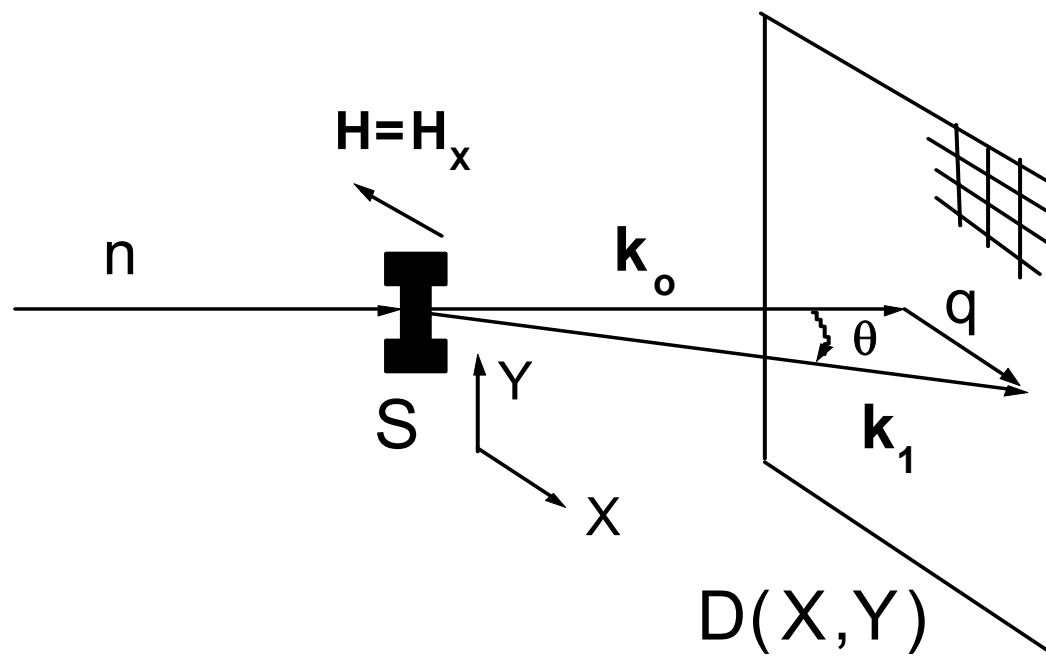
Fractography

- Optical & electron microscopy
- damages at surface, in thin layer - final stage of fracture
- Volume Nanosrtuctures - structural changes before the fracture

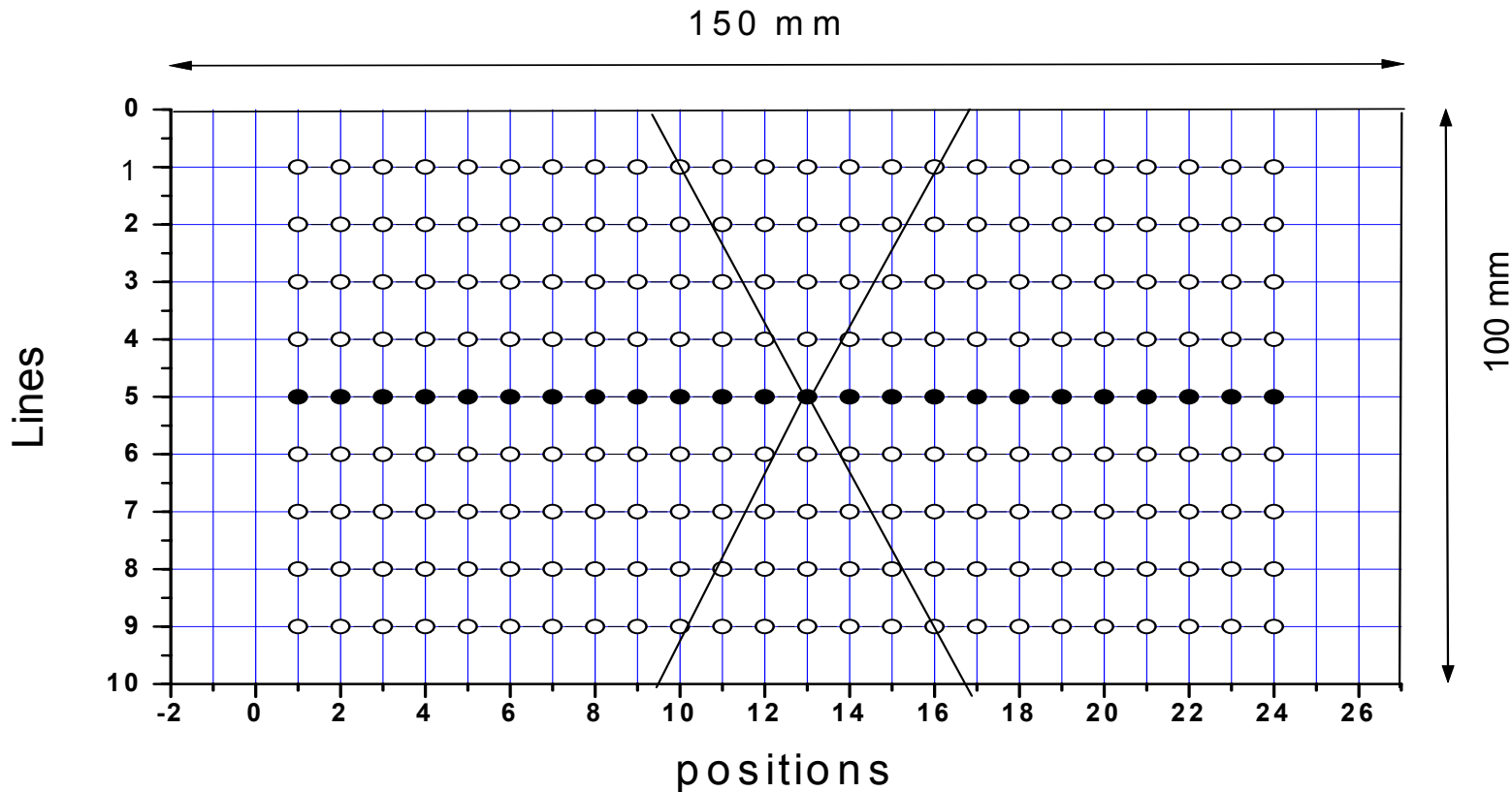
SANS

- Metals and alloys (thick layers ~ cm)
- except of elements with high absorption (Cd, Gd, B, Li etc.)
- X-rays are strongly damped in metals
- Isotopic contrast for structural elements
- Polarized neutrons: nuclear and magnetic structures
 ■ (magneto-elastic effects, magnetic inclusions)
- Wavelength variation: $\lambda = 0.2\text{-}2 \text{ nm}$
- Multidetectors
- scales $\sim 1\text{-}10^3 \text{ nm}$:
- point defects, dislocations, precipitates, pores and cracks

SANS



Welded joint scanned by neutron beam SANS on base and welded metal



Scan over welded joint

SANS, Neutron beam diameter = 2 mm,
 $\lambda=0.609 \text{ нм}$, $\Delta\lambda/\lambda=0.1$

Plate 150x100x3.5 mm³ of stainless steel

Central region of welded metal

Step = 5 mm, Line - 24 positions

Distance between lines = 10 mm (9 lines)

Steel 08H18N10T austenite stainless (100 mm) welded by the wire (3 mm in diameter, steel 04H19N18M3 (welding in electric arc using flux 48-OF-6).

Thermal treatment

Cooling down in water from the temperature 1050°C

Precipitation of carbides: TiC in base metal and TiC и Cr₂₃C₆ near the joint border and interior the joint.

Chemical composition

Table 1. Base metal: steel 08H18N10T (wt.%).

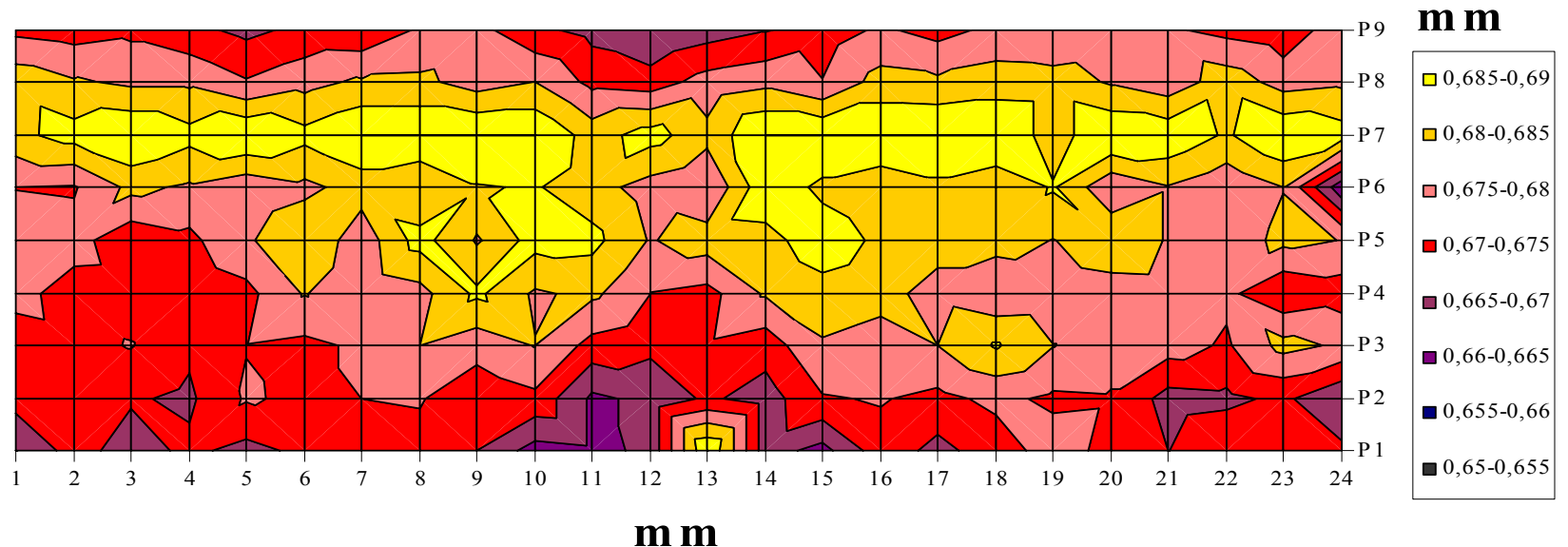
Element	C	Si	Mn	S	P	Cr	Ni	Ti
Concentration	0.07	0.45	0.94	0.015	0.020	18.04	9.97	0.61

Table 2. Welded metal: steel 04H19N18M3 (wt.%).

Element	C	Cr	Ni	Mn
Concentration	≤0.4	18-20	10-12	3.25-3.50

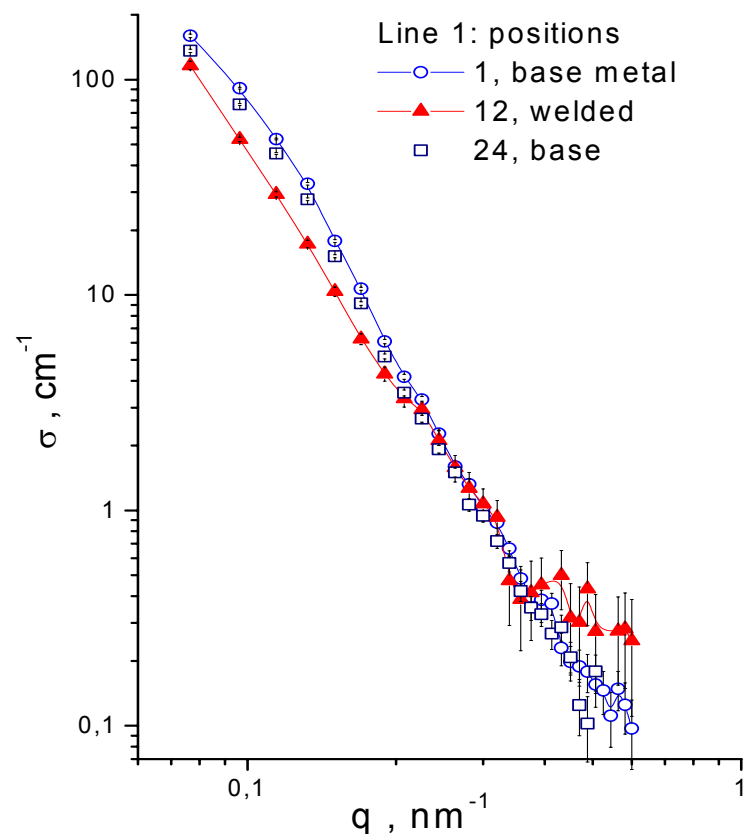
Transmission

transmission



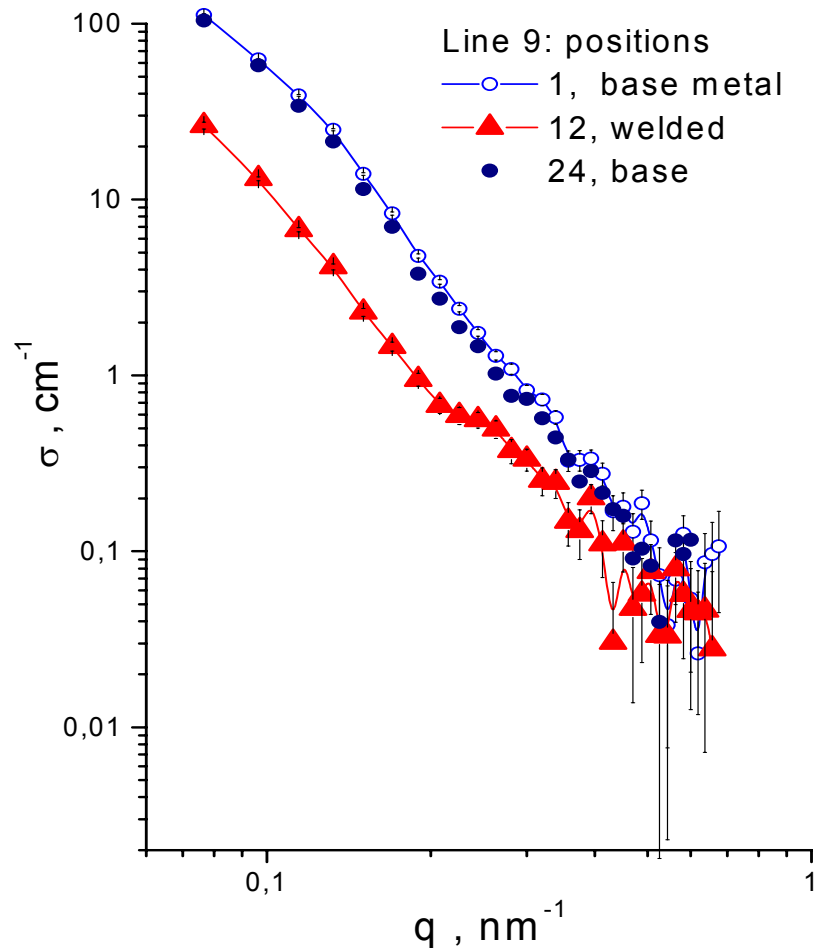
Line 1. Cross sections

Positions: 1, 24 - base metal, 12 - middle of joint.



Line 9. Cross sections

Positions: 1, 24 - base metal, 12 - middle of joint





SANS at 20°C

$q=0.07-0.7 \text{ nm}^{-1}$, 2D-detector (BF_3 , $64 \times 64 \text{ cm}^2$)

Transmission $\text{Tr} \sim 70 \%$

Isotropic scattering, averaging over circles $|\mathbf{q}|=\text{const}$

Inhomogeneities $r \geq 10 \text{ nm}$

Joint metal is more homogeneous than base metal !

Scattering from the joint material is lower by factor 2-3 as compared to base metal, $q \sim 0.1 \text{ nm}^{-1}$

Scattering from base metal and welded joint

3-component Guinier model

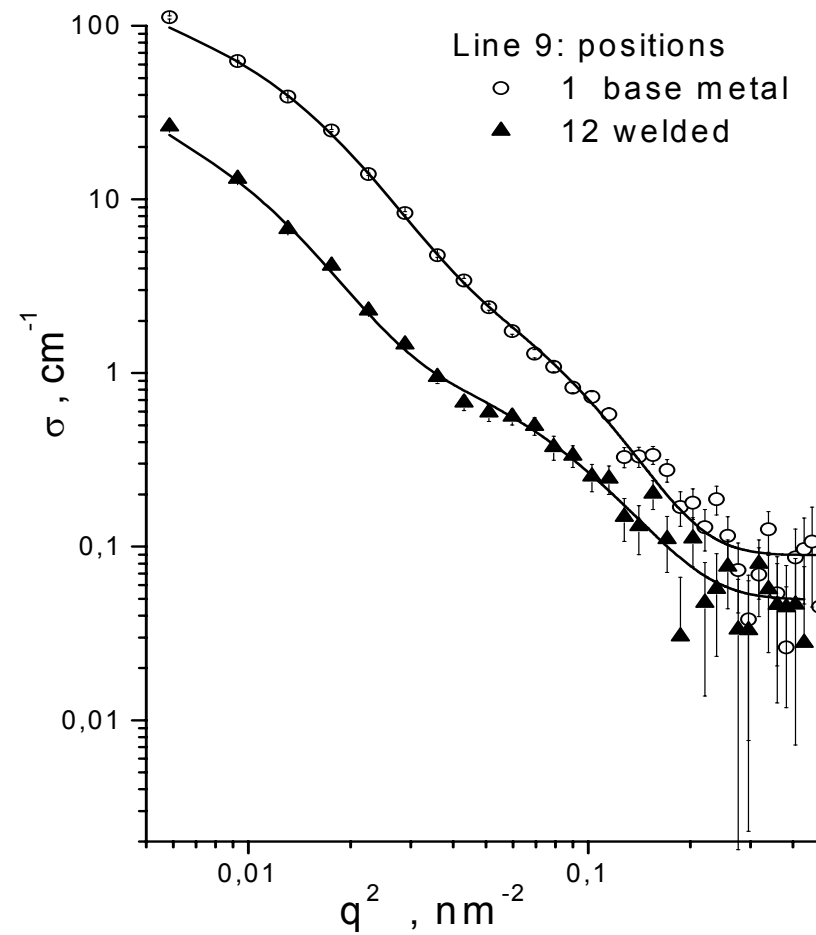
$$\sigma(q) = I_{01} * \exp[-q^2 Rg1^2/3] + I_{02} * \exp[-q^2 Rg2^2/3] + B$$

Fractions: Rg_1 и Rg_2 , defects ≤ 1 nm (nuclei, vacancies)

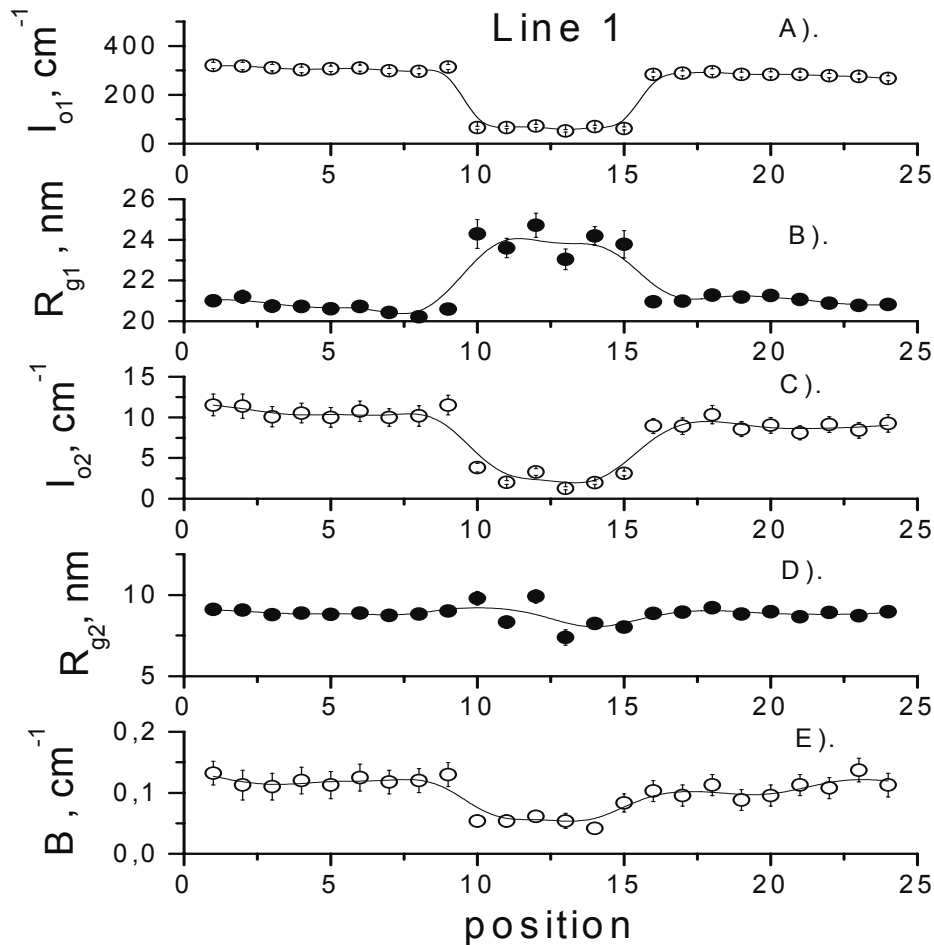
Forward cross sections $I_{01,2} = K_{1,2}^2 N_{1,2} V_{1,2}^2$
 $V_{1,2} = (4\pi/3)R_{1,2}^3$, spherical approximation
radii $R_{1,2} = (5/3)^{1/2} Rg_{1,2}$.

In base and joint metal defects' numbers differ strongly
Their dimensions do not show significant deviations !

Line 9: Guinier model

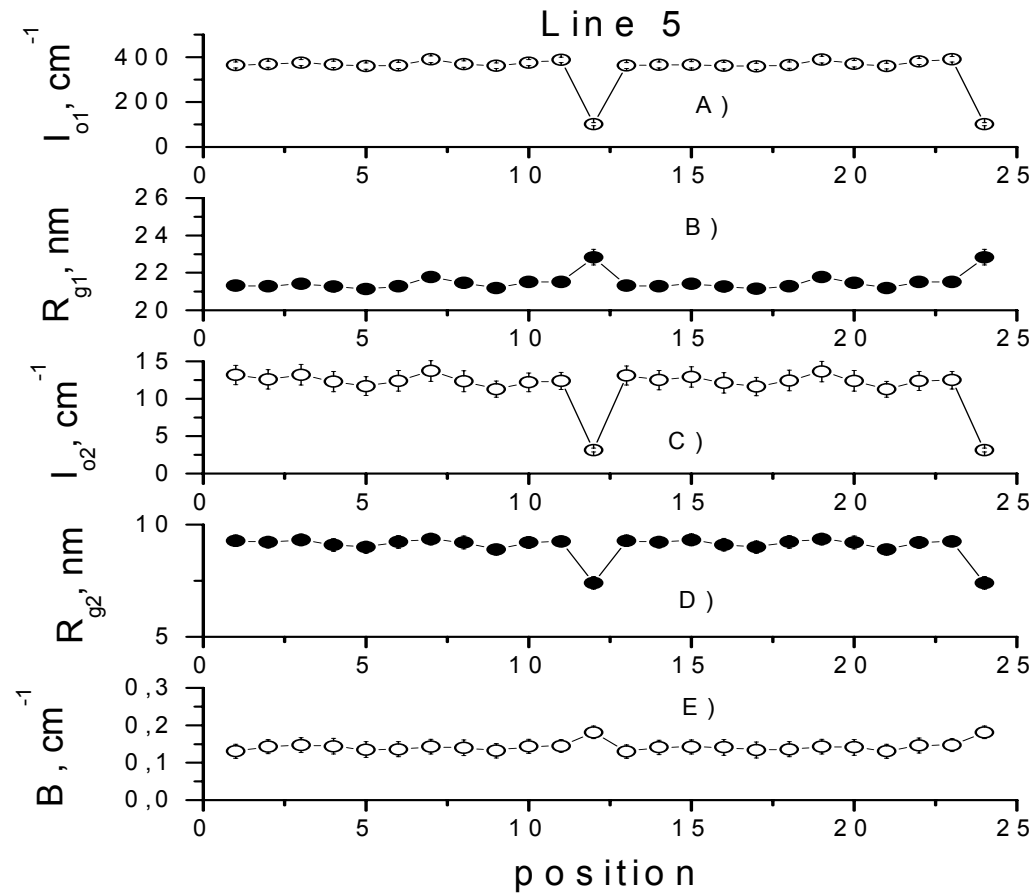


Line 1: A),B) and C),D) - forward cross sections
 and radii of big and middle particles
 E). "incoherent" cross section of tiny defects

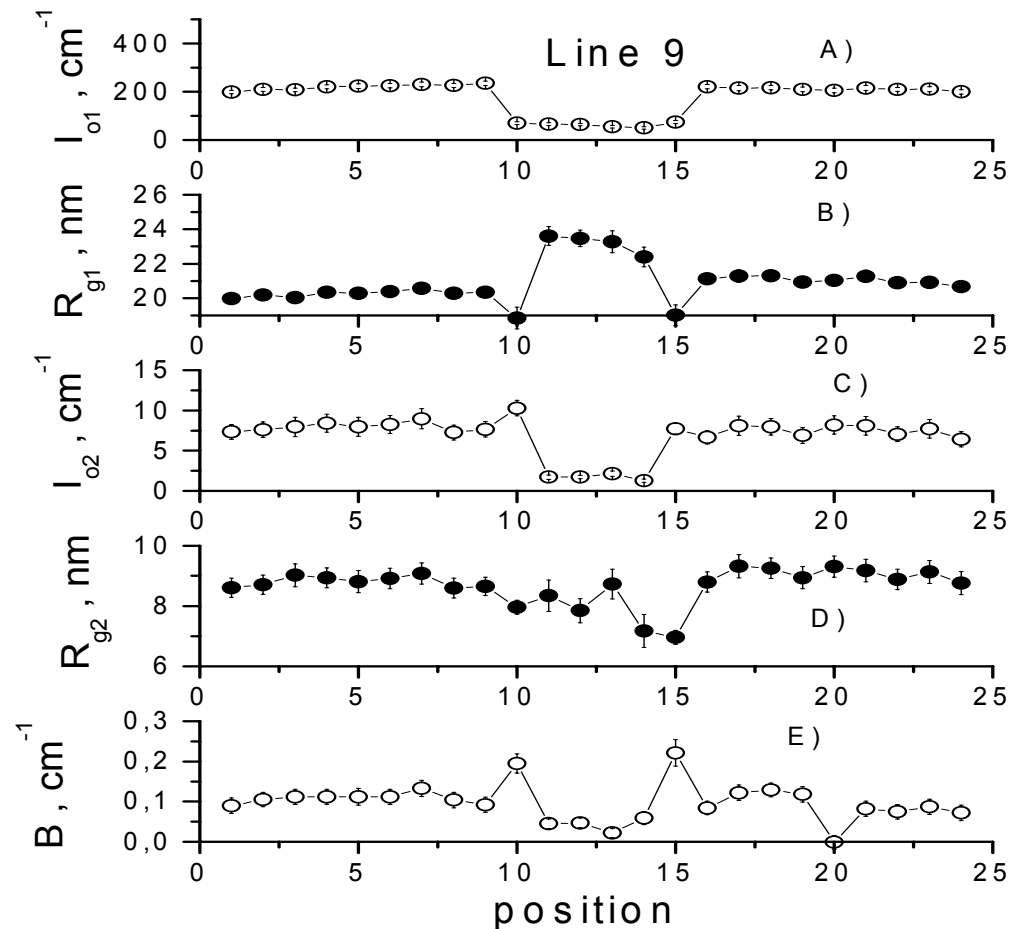


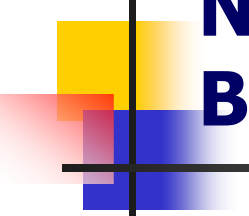
Line 5 - center of joint:

A),B) and C),D) - forward cross sections and radii of big and middle particles; E). "incoherent" cross section



Line 9: A),B) and C),D) - forward cross sections
and radii of big and middle particles;
E). "incoherent" cross section





Nanoscale structure Base and joint metal

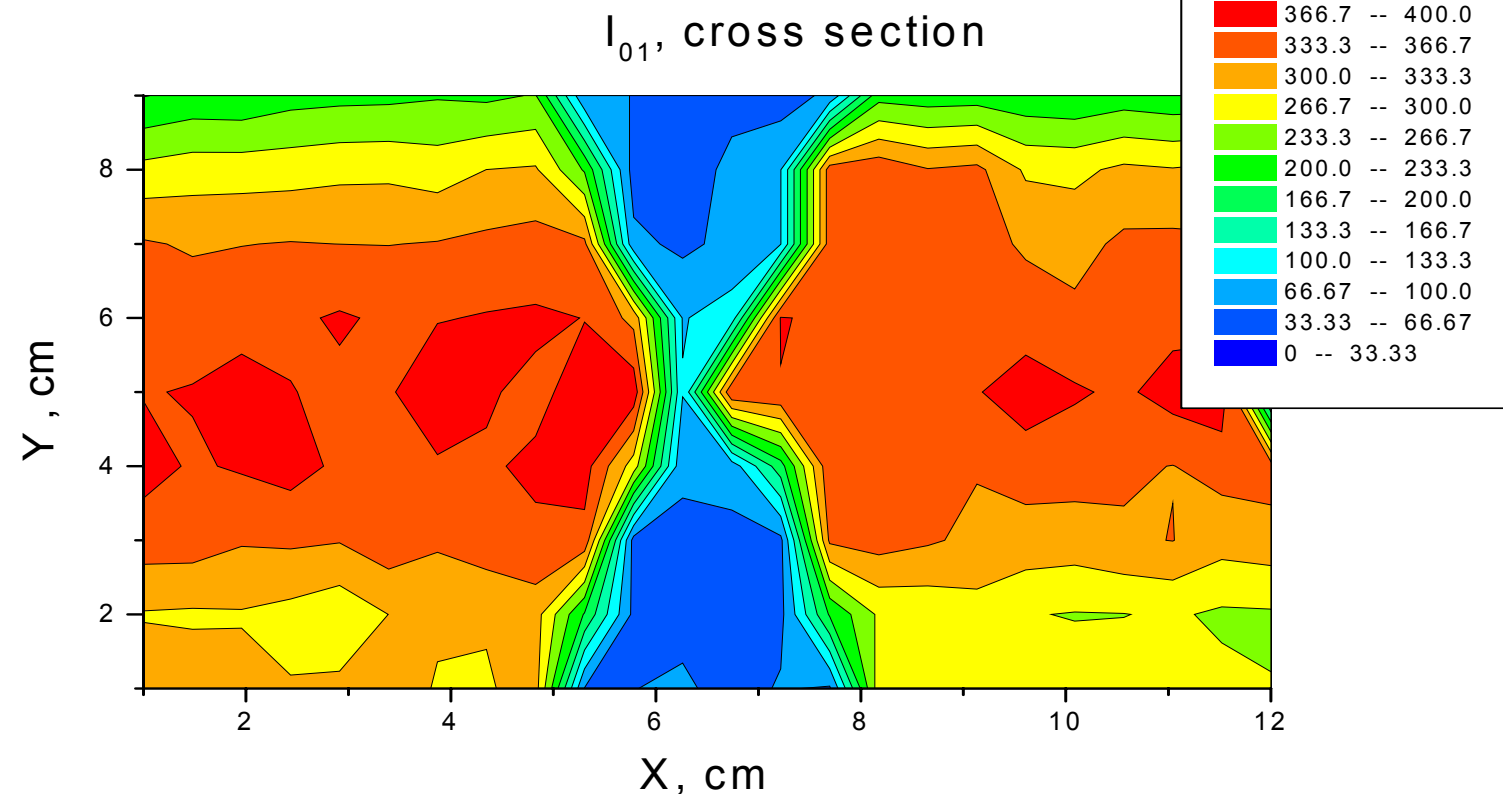
- Big defects in base metal, $Rg1=20-22$ nm
- Interior the joint the radius is larger by $\sim 10\%$

- Middle defects, $Rg2 = 7-9$ nm
- Interior the joint their size is smaller by $\sim 10\%$

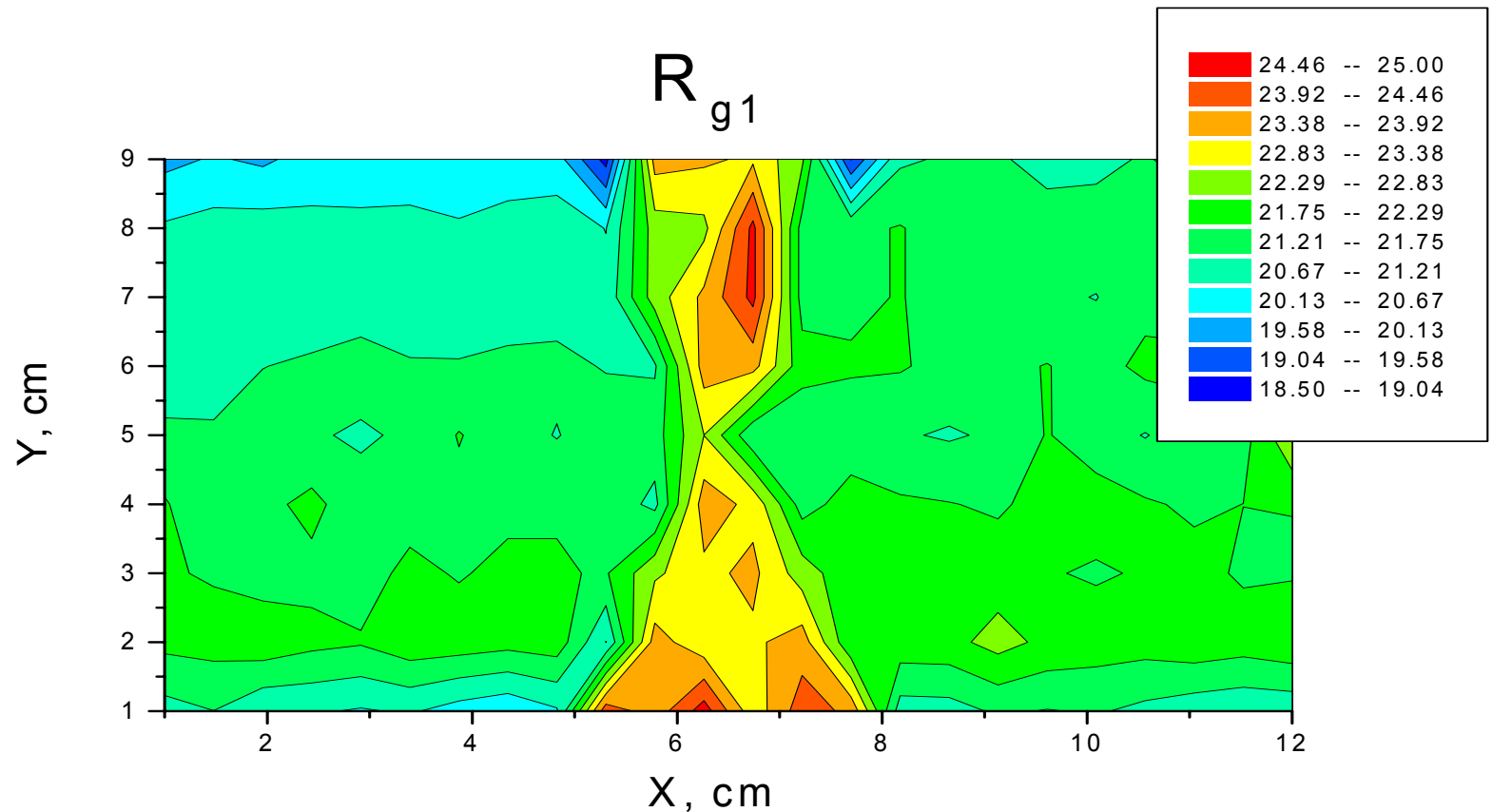
- Cross sections for big and middle particles are lower by factor ~ 5 interior the joint as compared to base metal

- In joint metal cross section of tiny defects \sim nuclear incoherent cross section
- Base metal: additional point defects !
- Border of joint: "islands" of high concentration of point defects !

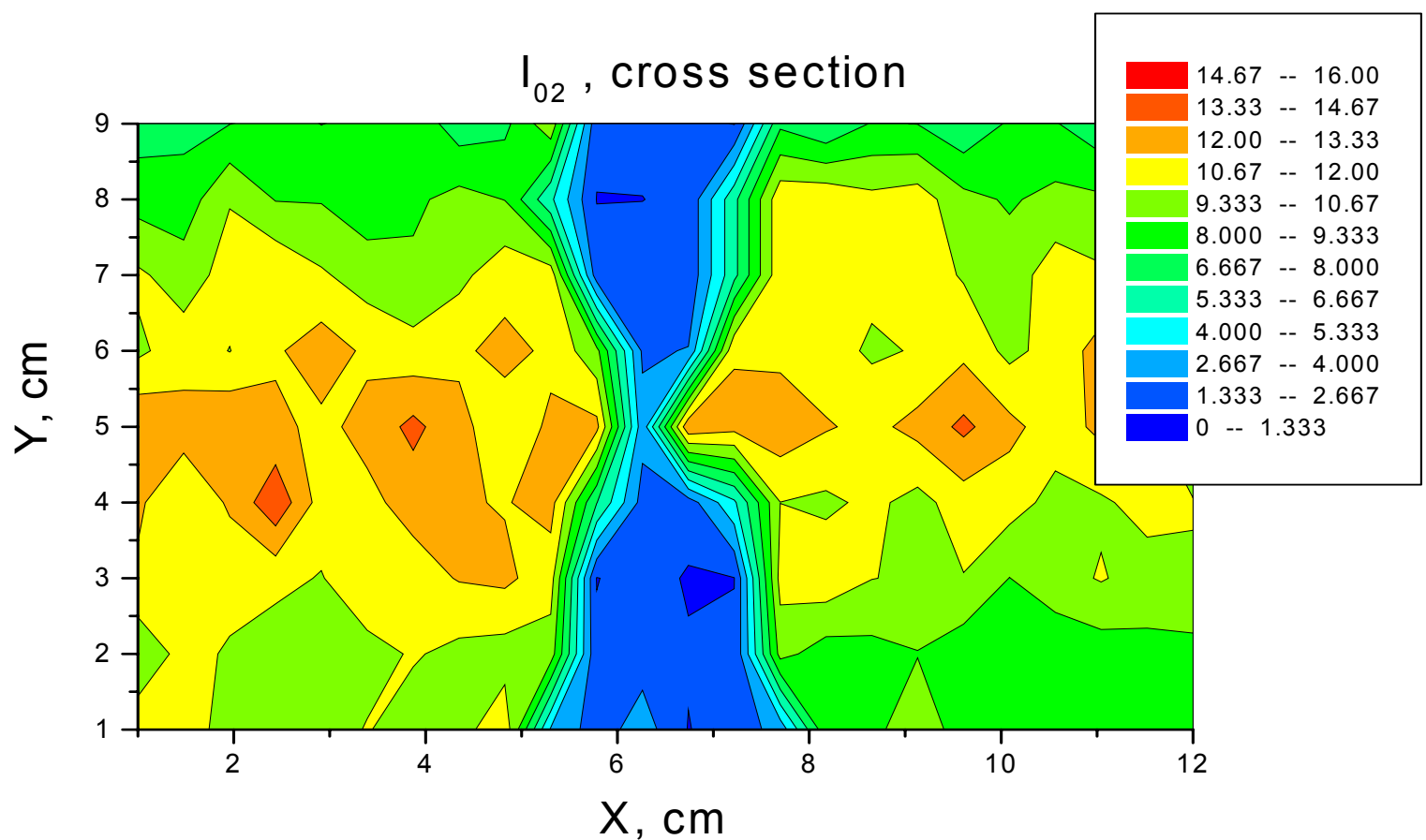
Forward cross section I_{01} for big defects



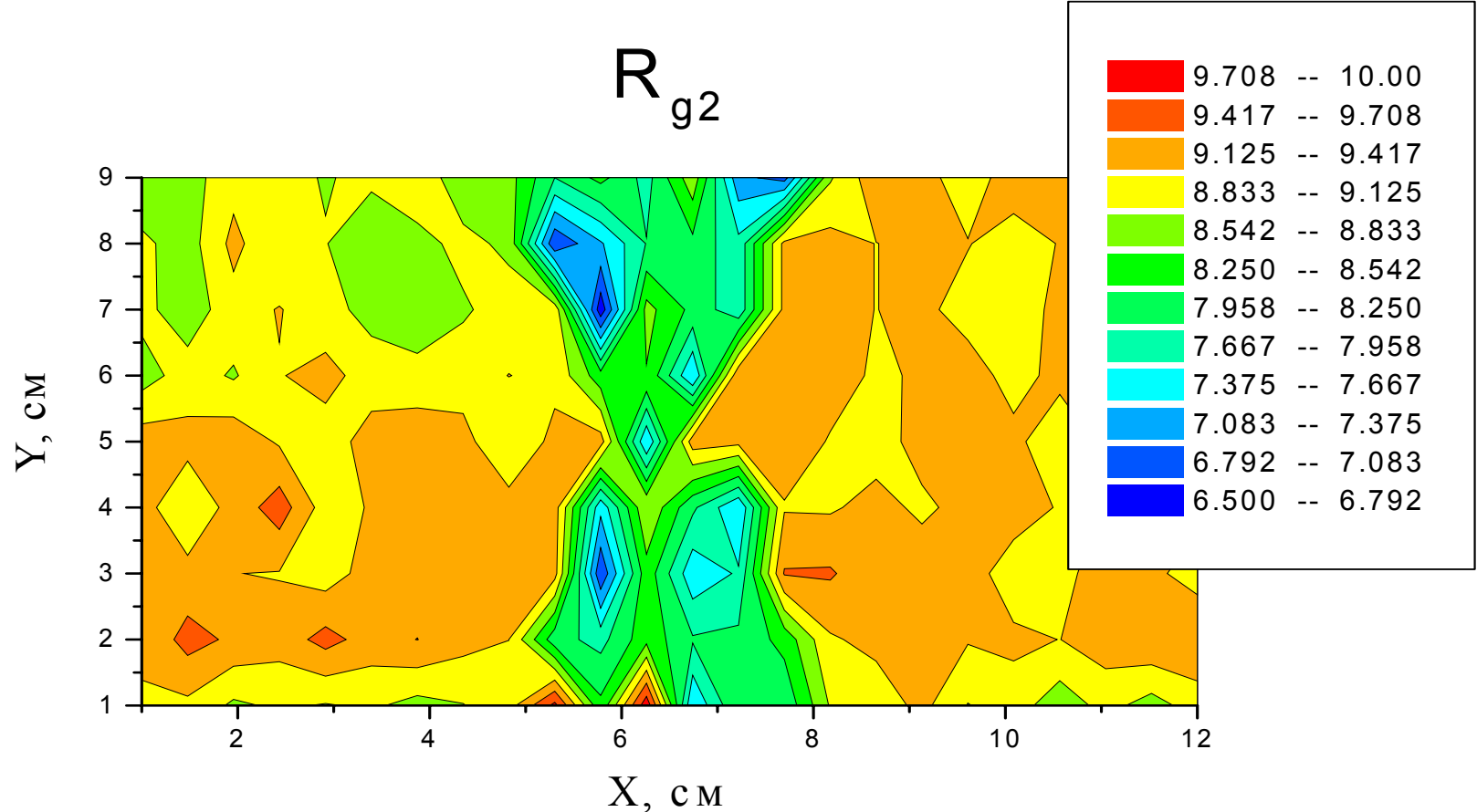
Gyration radius of big defects



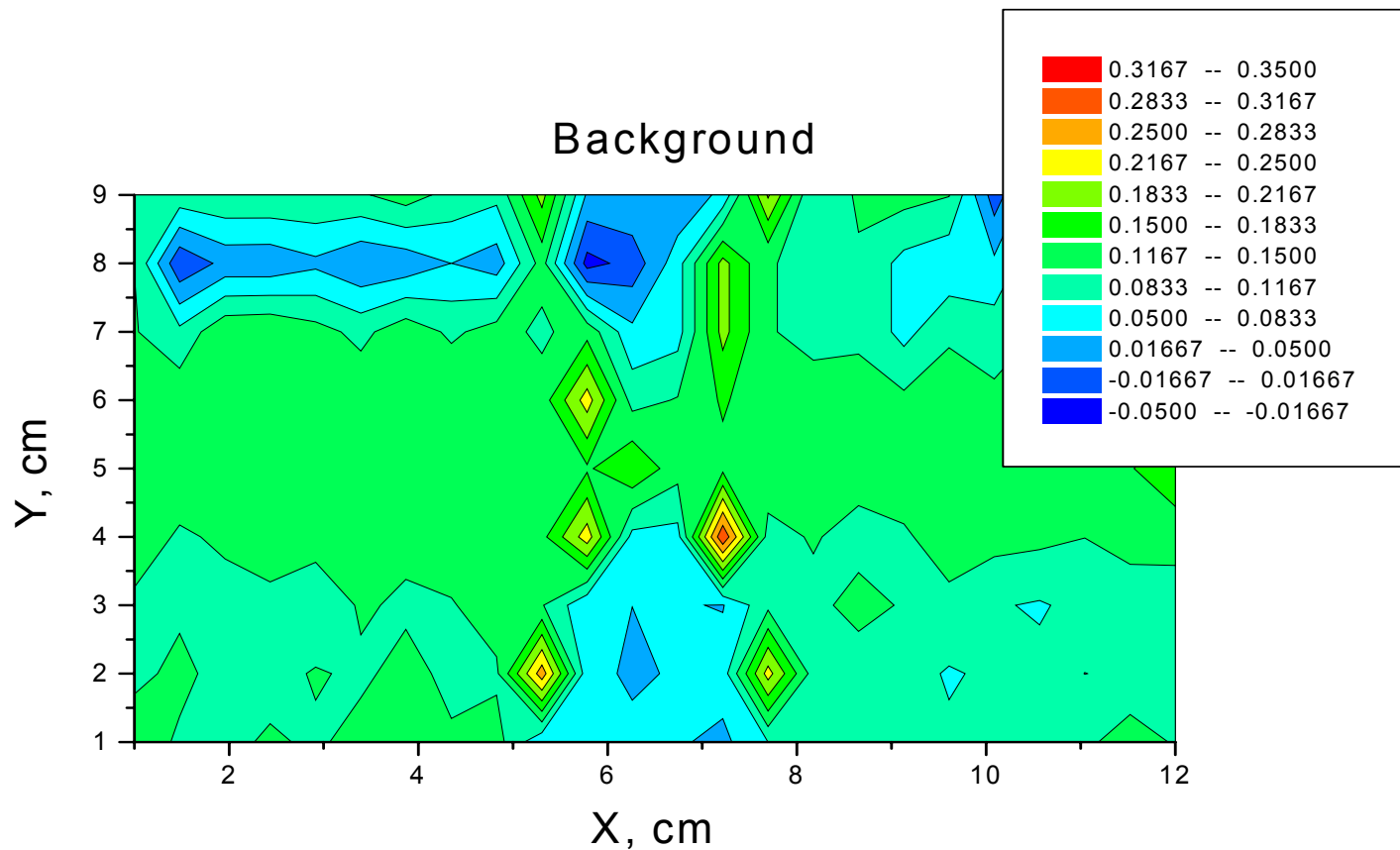
Middle defects' cross section

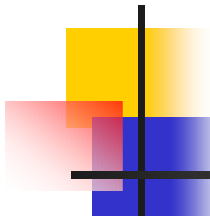


Gyration radius of middle defects



Cross section of "point" defects





Carbides C_6Cr_{23} can be localized at grain borders
Monolayers at the borders of crystalline blocks
Scattering angles $\sim \lambda/D$

Layer thickness $D = 2R_{g1}/\sqrt{3} \sim 24 \text{ nm} \sim$ middle particle diameter $2R_{g2} \sim 18 \text{ nm}$

Middle particles can form layers at blocks' borders
Number of particles in such a lamella

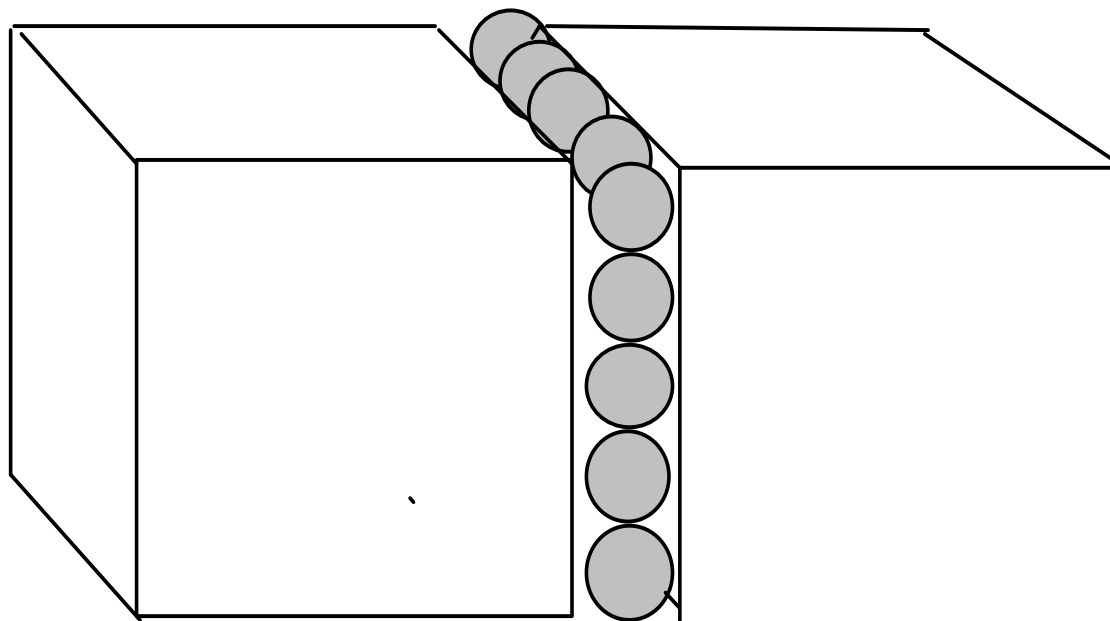
In base metal $nB = (I_{01}/I_{02}) = 29$

In joint metal $n_w = (I_{01}/I_{02}) = 35$

Lamella size $\sqrt{n \cdot R_{g2}} \sim 100 \text{ nm}$

\sim size of crystalline block

Carbides grouping at blocks' borders



Content of C_6Cr_{23}

- fcc, unit cell: 92 atoms of Cr, 24 atoms of C
- Lattice constant $a = 1.051\text{-}1.073 \text{ nm}$
- Carbide density $\rho = 7.07 \text{ g/cm}^3$

- Nuclear scattering length density $K_c = 4.15 \cdot 10^{10} \text{ cm}^{-2}$
- Iron: $K_{Fe} = 7.9 \cdot 10^{10} \text{ cm}^{-2}$
- Carbides have negative contrast in metal matrix
- $\Delta K = -3.8 \cdot 10^{10} \text{ cm}^{-2}$
- Carbides content: $\phi_B = 0.12 \text{ % vol. in base metal}$
- $\phi_w = 0.023 \text{ % in welded metal.}$
- Mass of carbon precipitated 0.047 % wt. in base metal
- 5 times lower than the amount of precipitated carbon in welded metal, 0.0090 % wt.
- 70 % of carbon in base metal is precipitated
- The SANS is sensitive even to inclusions amount $\sim 10^{-2} \text{ % vol.}$

- 1. V.T.Lebedev, A.N.Lapin, V.I.Didenko, K.A.Konoplev, D.N.Orlova, Gy.Torok, E.Retfalvi, Opportunities of investigations of strength and fracture problems of constructional materials by SANS, The 7th Conference of material issues in design manufacturing and operation of nuclear power plants equipment, 17-21 June, 2002, St.Petersburg / Conference proceedings sec.1, pp.248-259.
- 2. V.Lebedev, V.Didenko, A.Lapin, K.Konoplev, D.Orlova, Gy.Torok, E.Retfalvi, Small-angle neutron scattering investigation of plastically deformed steel, J.Appl. Cryst. (2003) v.36, pp.629-631.
- 3. Botchvar A.A. Material Science, - Moscow: State Sci&Techn. Publishers for Metallurgy, 1956, 495 p.
- 4. Parshin A.M., Structure and strength and plasticity of stainless and heat-resistant steels and alloys used in shipbuilding. - Leningrad: "Shipbuilding publishers", 1972, 288 p.
- 5. Svergun D.I., Feigin L.A., X-ray and neutron small-angle scattering, Moscow: "Nauka-publishers", 1986, 279 p.



ELSEVIER

Available online at www.sciencedirect.com

SCIENCE @ DIRECT®

Physica B 358 (2005) 224–231

PHYSICA B

www.elsevier.com/locate/physb

SANS study of the precipitates microstructural evolution in Al 4032 car engine pistons

M. Rogante^{a,*}, V.T. Lebedev^b, F. Nicolaie^c, E. Rétfalvi^d, L. Rosta^d

^a*Rogante Engineering Office, NDT, Contrada San Michele, n. 61, P.O. Box 189, 62012 Civitanova Marche, Italy*

^b*Petersburg Nuclear Physics Institute, Gatchina, St. Petersburg, Russia*

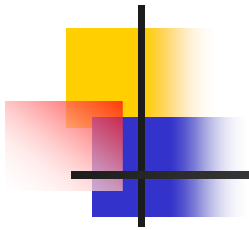
^c*Ferrari Gestione Sportiva, Gruppo Metallurgia, Via Ascari, 55/57, 41053 Maranello, Italy*

^d*Research Institute for Solid State Physics and Optics, Budapest, H-1525, POB.49, Hungary*

Received 30 November 2004; received in revised form 10 January 2005; accepted 11 January 2005

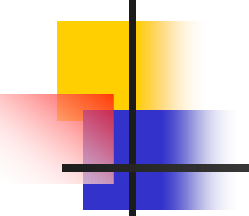
Engine of tracing car

- SANS study of precipitates in piston
 - AlSiCuNiMg alloy
 - SANS from 5 points of new (old) piston's crown
-
- Center of new sample:isotropic scattering
 - Lateral parts:
anisotropic scattering (texture created by manufacturing)
 - Alloy's mechanical properties are sensitive to thermal treatment
 - Operating temperature is close and in certain parts of the crown exceeds the aging temperature
 - Aging alters mechanical properties related to precipitates structural changes



Long-term exploitation under thermal and mechanical stresses in cars' engine

- Al 4032 is basically a forging alloy
- SANS examination of material to find the precursors of fracture



Scientific background

Neutron studies

Plastic deformation: huge scattering (Cu, Al, Ni) [4-6]

Cracks, precipitates ~ 100 nm in fracture zone [6]

Polycrystalline Cu, Ni, Fe: $I(q) \sim 1/q^D$, $D = 2.5 - 3.5$ [2]

$D \sim 2$ for dislocation loop, $D=3\pm0.5$ for groups

Grouping creates interior surfaces, voids, crystal borders, cracks

$3 < D \leq 4$, $D = 4$ for sharp defect's border ! [4].

Electron microscopy: surface, thin slices [1]

Nuclear (magnetic) scattering on dislocations

Dislocations' densities found from cross section

Residual hardness measurements on piston crown after operation

- Temperature of crown, exceeding the aging temperature, causes a coalescence of hardener elements: **AlCu, AlMg, AlMgCu** precipitation
- Evaluation of shape and size of precipitates:
 1. Location the areas of maximum thermal alteration
 2. Measurement of alteration rate

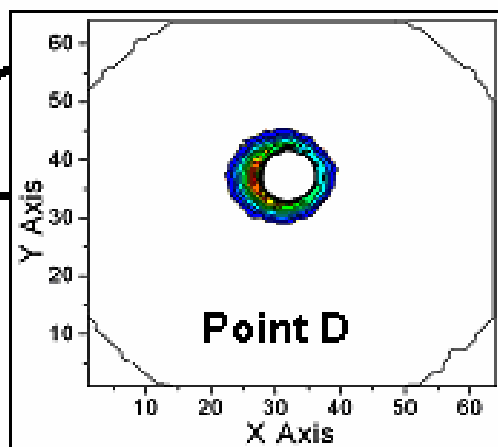
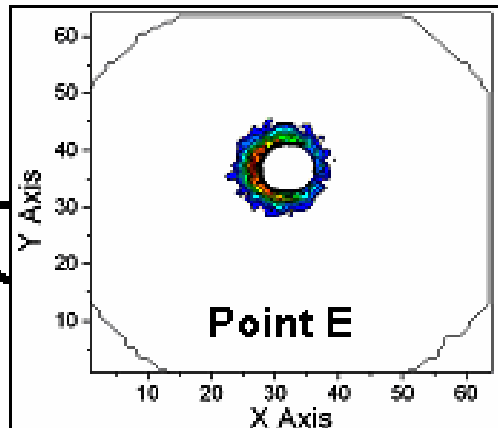
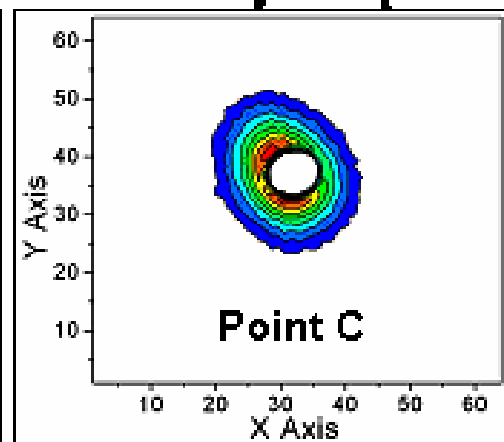
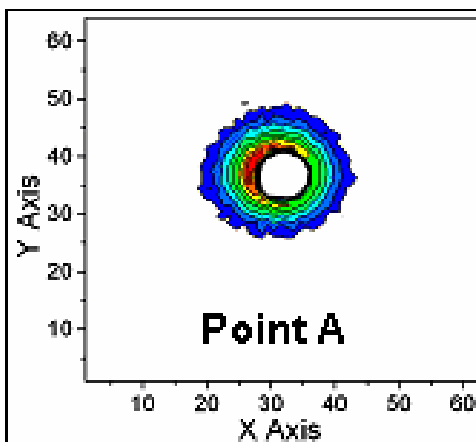
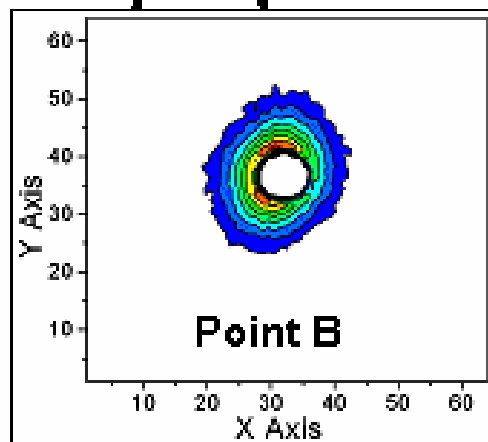
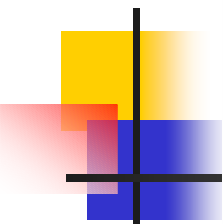
Table 1

Composition of Al-based alloy and scattering lengths for nuclei

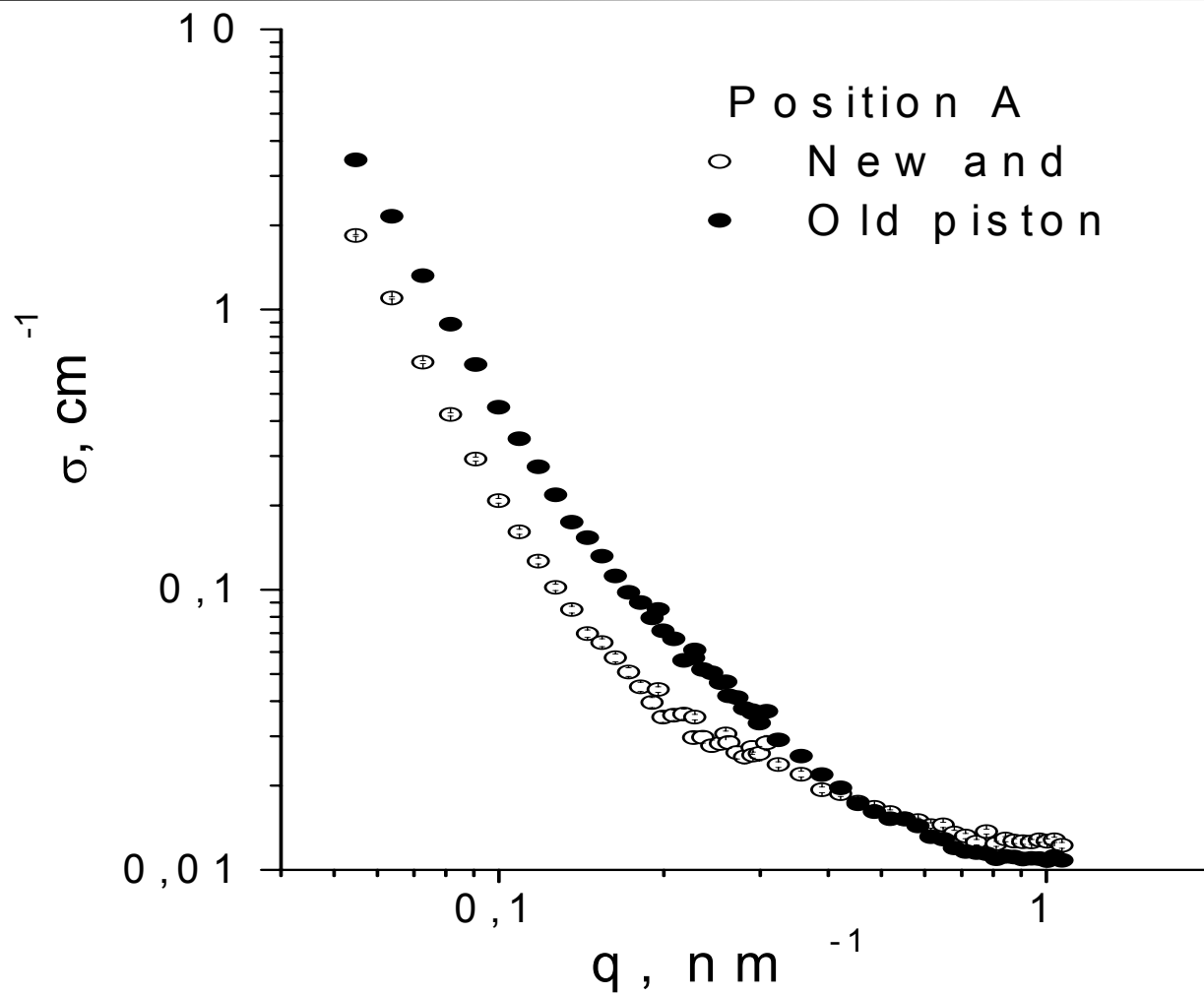
Element	Si	Fe	Cu	Mg	Cr	Ni	Zn
at%	11.0–13.5	≤1.0	0.5–1.3	0.8–1.3	≤0.1	0.5–1.3	≤0.25
$b (10^{-12} \text{ cm})$	0.415	0.945	0.772	0.538	0.364	1.03	0.568

Remainder each (0.05% max.), remainder total (0.15% max.).

Piston crown



SANS from the piston crown: central position



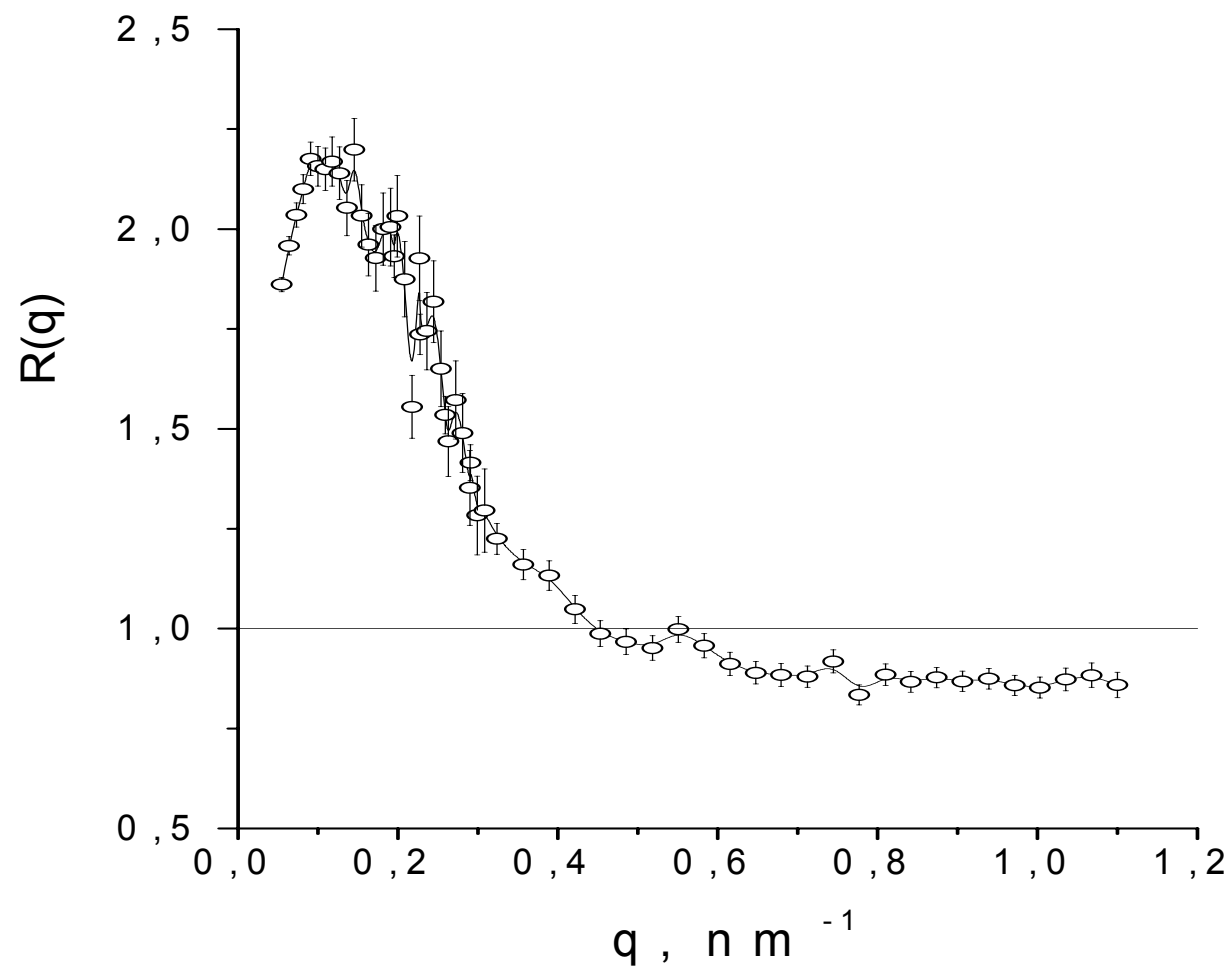
SANS-patterns for central point

$\sigma(q) = d\sigma/d\Omega$ per cm^3 , $\lambda = 1.224 \text{ nm}$

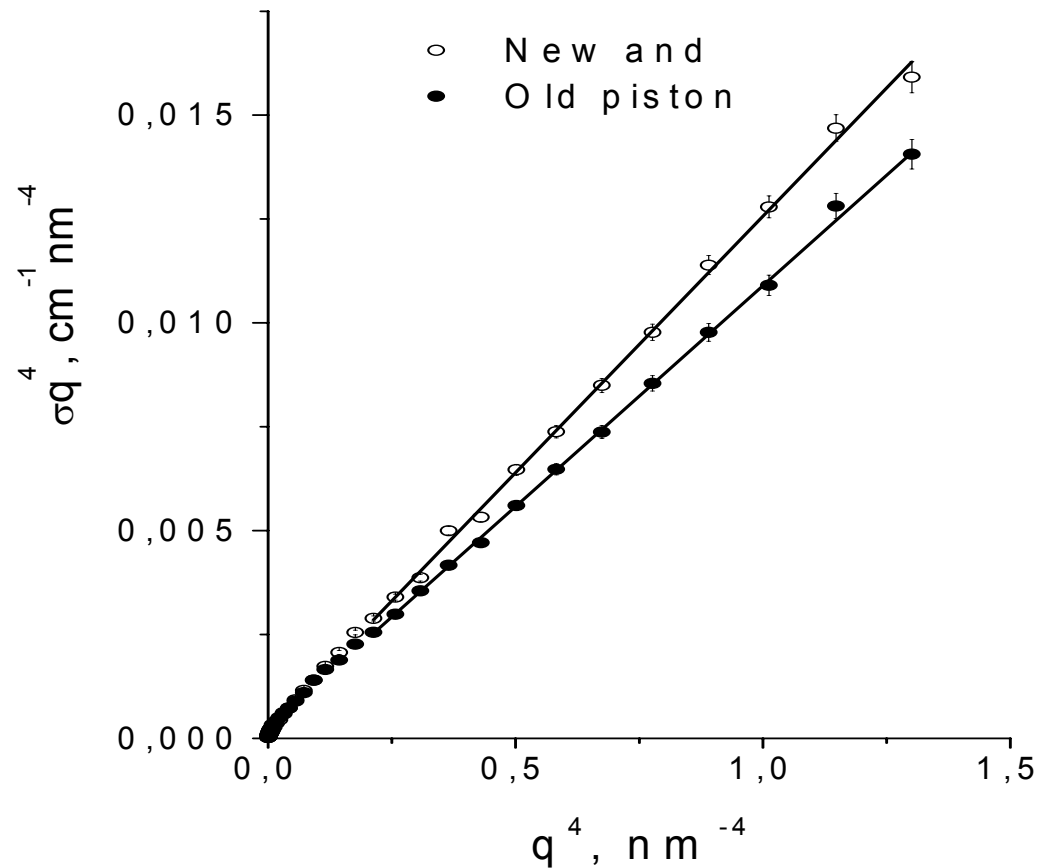
$q = 0.05 - 1.2 \text{ nm}^{-1}$, scale $r \sim 1/q = 1 - 20 \text{ nm}$

- $\sigma(q)$ increase by factor 2 after operation
 $R(q) = I_{\text{OLD}}/I_{\text{NEW}}$ has a maximum
at $q = 0.05 - 0.2 \text{ nm}^{-1}$
- Thermal treatment causes the growth of defects
 $r \sim 1/q \sim 5 - 10 \text{ nm}$
- Scattering became weaker at $q \sim 1 \text{ nm}$:
annealing of small defects (vacancies)

Gain in scattering after operation: $R(q) = I_{\text{OLD}}/I_{\text{NEW}}$



Porod plot for new and old piston: central position



Porod plot $I(q) \cdot q^4$ vs. q^4

Separation structural effects from incoherent scattering and point defects contribution

- New and old piston obey the law:

$$I \cdot q^4 = A + B \cdot q^4$$

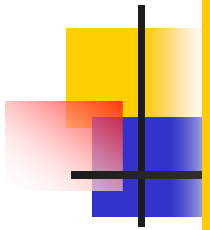
- $A = 2\pi(\Delta K)^2 \cdot S_t$

Total area of particles, for spheres:

$$S_t = 4\pi R_p^2 N_p$$

R_p is the radius, N_p is the number of particles in the sample

- Parameter **B** - incoherent cross section

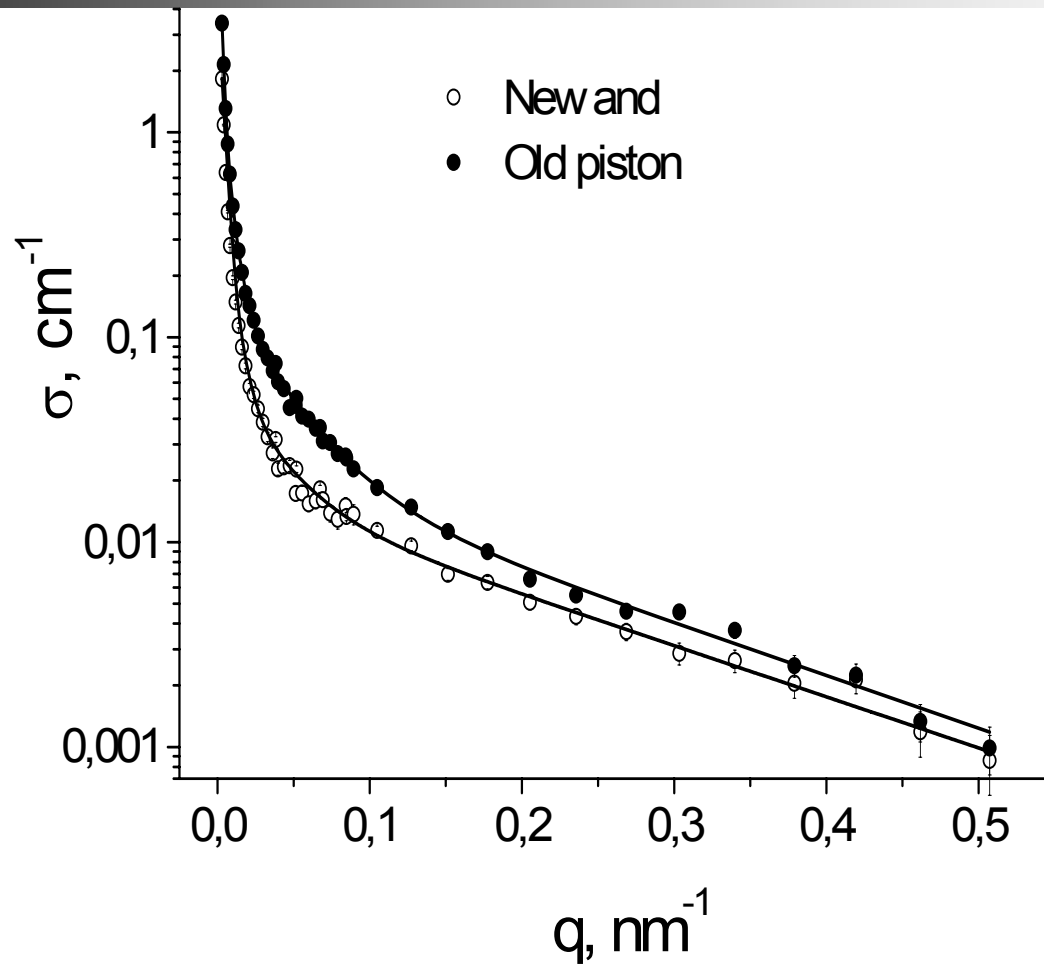
- 
- Aging increase the surface by **~20 %** (precipitates growth) and decrease incoherent background by **~15 %** (annealing of vacancies)
 - Range of contract factors for different precipitates

$$\Delta K^2 = (0.4-1.7) \cdot 10^{20} \text{ cm}^{-4}$$

- Interior surface gain

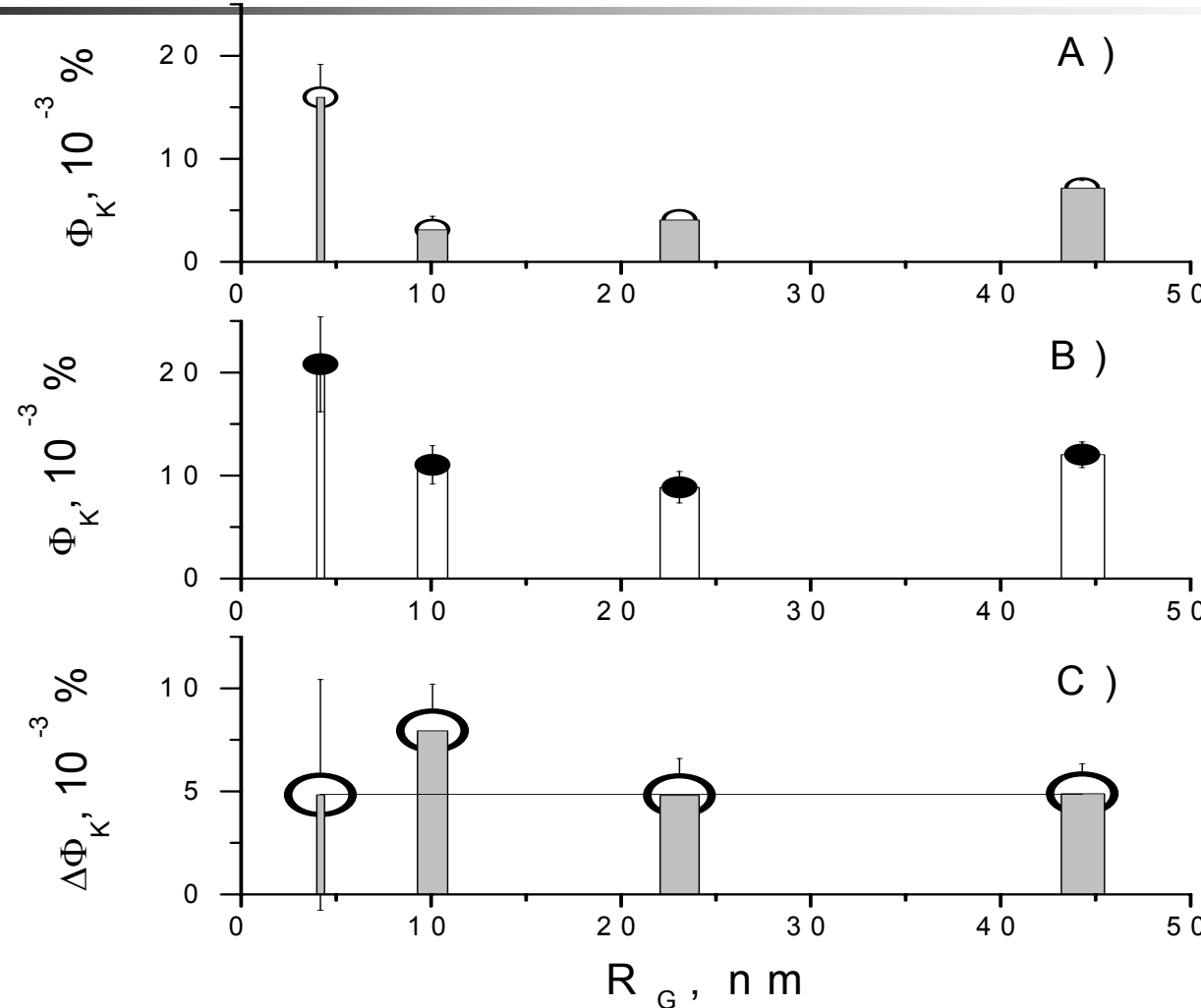
$$\Delta S_t \sim (4-16) \cdot 10^2 \text{ cm}^2$$

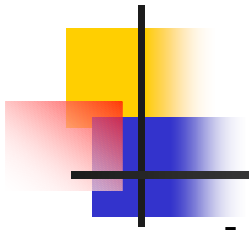
Guinier approximation



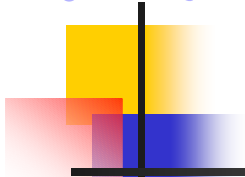
Volume content of precipitates vs. radius:

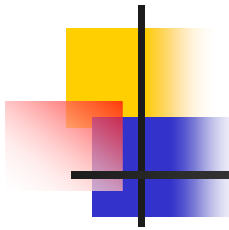
A). new; B) old material; C). Difference $\Phi_{K\text{old}} - \Phi_{K\text{new}}$



- 
- [1] D. Broek, Elementary engineering fracture mechanics, Leyden (1974).
 - [2] W. Schmatz, Neutron Small-Angle Scattering from Dislocations, Rivista del Nuovo Cimento (1975), 5, 3 398.
 - [3] A. Seeger, E. Kroner, Theorie der Kleinwinkelstreuung von Rontgen- Strahlen Und Neutronen durch innere Spannungen in festen Korpern, insbesondere durch Versetzungen, Zeitschrift für Naturforschung, (1959) A14 , 74.
 - [4] N. M. Okuneva, V. E. Zhitarev, V. N. Savel'yev, S. B. Stepanov, A. I. Slutsker, Small angle scattering of cold neutrons in metals, Phys. of the Solid State, (1976), 18, 12 3682.
 - [5] V. E. Zhitarev, N. M. Okuneva, V. S. Ryskin, A. I. Slutsker, S.B.Stepanov, Small angle scattering of cold neutrons in deformed metals, Phys. of the Solid State (1981), 23, 92681.
 - [6] L. Cser, I. Kovach, N. Kroo, and G. Zsigmond, Small-angle Neutron Scattering Study of Metallic Alloys by a Double Crystal Device, Preprint FKFI 1982-35, Budapest (1982).

СТРУКТУРА РАДИАЦИОННЫХ ДЕФЕКТОВ В КВАРЦЕ





СИНТЕТИЧЕСКИЙ КВАРЦ

$p = 54 \text{ см}^{-2}$

$p= 570 \text{ см}^{-2}$



ДЫМЧАТЫЙ КВАРЦ



ГОРНЫЙ ХРУСТАЛЬ



МАСШТАБ: 1 см



Синтетический кварц, плотность дислокаций $\rho = 54 \text{ см}^{-2}$, $\rho = 570 \text{ см}^{-2}$

Природные - дымчатый кв. и горный хрусталь

Нейтроны, $E_n > 0.1 \text{ МэВ}$: $\Phi = 2 \cdot 10^{16} - 5.0 \cdot 10^{18} \text{ н/см}^2$

$\Phi = 2 \cdot 10^{16} \text{ н/см}^2$: нет изменений структуры
искусственного кварца !

Природные образцы: заметное число дефектов

- Укрупнение за счет слияния при увеличении флюенса !

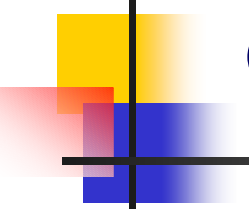
Синтетический кварц: $\Phi = 8 \cdot 10^{17} - 5.0 \cdot 10^{18} \text{ н/см}^2$

Генерация дефектов, $rg \sim 1-2 \text{ нм}$ и $R_G \sim 40-50 \text{ нм}$

Рост числа и объемной доли дефектов.

Крупные дефекты $R_G \sim 40-50 \text{ нм}$ - начало аморфизации!

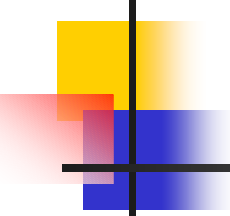
Образование линейных дефектов – каналов
радиусом $\sim 2 \text{ нм}$ в синтетическом кварце



Кварциты - основная часть земной коры

Роль дефектов в миграции газовых потоков (гелия, трития) к поверхности Земли

- Дефекты, исходные и индуцированные радиационными, термическими, механическими нагрузками - ловушки элементов, в т. ч. радиоактивных (радон)
- Модификация кварцев облучением протонами, нейtronами, электронами, γ -квантами для получения функциональных материалов с необходимыми характеристиками (проблема захоронения отходов в глубинных кварцевых породах при условии выяснения их радиационной стойкости)
- Для модификации вещества в объеме наиболее эффективны быстрые нейтроны, способные создать нужную дефектную структуру в объеме кварца



Кварц – одна из кристаллических модификаций двуокиси кремния SiO_2 (кремнезема), имеющего несколько разновидностей

Разновидность кремнезема	Температурная область устойчивости
α -кварц (низкотемпературный) .	$T < 573^\circ \text{C}$ при нормальном давлении
β – кварц (высокотемпературный)	$573^\circ \text{C} < T < 880^\circ \text{C}$
Тридимит	$880^\circ \text{C} < T < 1470^\circ \text{C}$
Кристобалит	$1470^\circ \text{C} < T < 1710^\circ \text{C}$

Плотность α -кварца $\rho=2.649 \text{ г/см}^3$

Твердость по десятибалльной шкале равна 7

Кварц прозрачен для УФ и частично ИК-излучений !

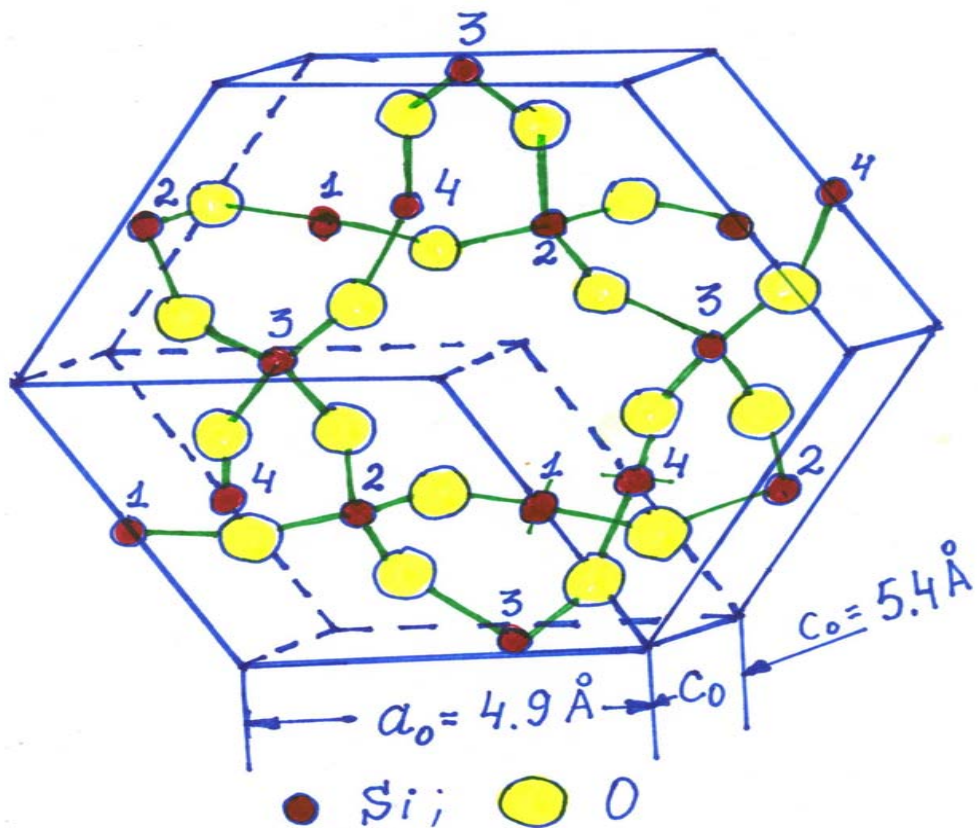
Основные прозрачные разновидности а-кварца

Вид	Цвет	Примеси
Синтетический	Бесцветный	Обычно Al
Горный хрусталь	Бесцветный	Если отсутствуют примеси Ti, Fe и центры окраски.
Раухтопаз (дымчатый)	Дымчатый	Замена атомов Si на атомы Al
Аметист	Фиолетовый	Fe^{3+} (желто-образующий) , Fe^{2+} (зелено-образующий)
Морион	От черного до зеленовато-желтого	Al
Цитрин	Красноватый	Fe^{3+}

Quartz has two polymorphs

Alpha quartz is trigonal and stable below 573 C

Above 573 C the structure inverts to beta quartz, which is hexagonal



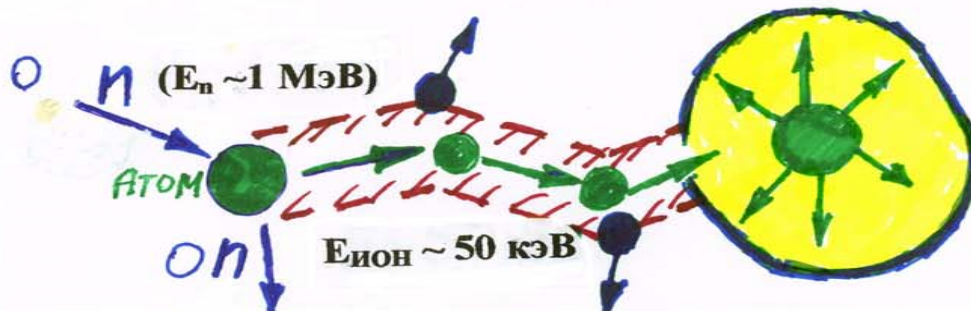
α -кварц

$$c_0 = 5.393 \text{ \AA}$$

$$a_0 = 4.903 \text{ \AA}$$

1, 2, 3, 4 – положения Si

СХЕМА КАСКАДНОГО ПРОЦЕССА ПРИ ОБЛУЧЕНИИ НЕЙТРОНАМИ



Максимум распределения смещенных атомов вдоль пробега в кварце находится на расстоянии 36 -130 нм для выбитых ионов кислорода с энергиями от 20-100 кэВ и 18-80 нм для ионов кремния с энергиями от 20-100 кэВ [19].

СТРУКТУРНЫЕ ЭЛЕМЕНТЫ



Точечные
Дефекты
(Френкелевские пары)



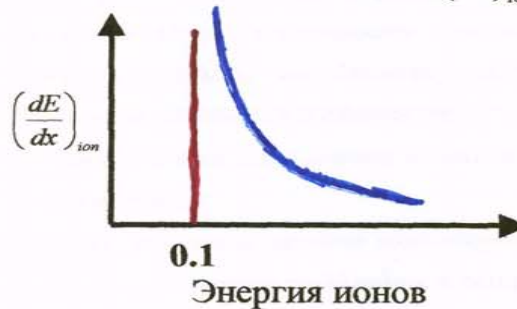
Протяженные
дефекты

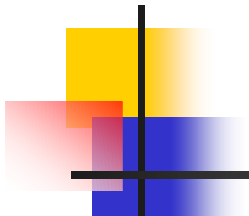


Глобулы
(пики смещения)

ТОРМОЖЕНИЕ ИОНОВ В ВЕЩЕСТВЕ

Ионизационные потери ионов $\left(\frac{dE}{dx}\right)_{\text{ION}} \approx \frac{1}{E_{\text{ION}}}$





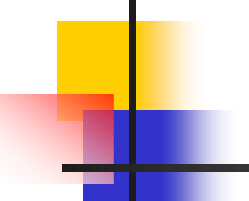
Нейтрон может выбить атом из узла в междоузлие
Образуется *френкелевская пара*
«междоузельный атом-вакансия»

Выбитые атомы O и Si, получив большую энергию, вызывают локальные повреждения решетки, генерируют крупные дефекты

Максимум распределения смещенных атомов вдоль пробега
-на расстоянии **36 -130 нм** для выбитых ионов кислорода с
энергиями от **20-100 кэВ**
- **18-80 нм** для ионов кремния с энергиями от **20-100 кэВ**

Расстояния между смещенными атомами малы
Создается область разупорядоченной решетки
- «*пики смещения*»

При облучении кристаллов нейтронами возникают
точечные дефекты («выбитый атом - вакансия»)
и «*пики смещения*»



Нейтронное облучение ведет к образованию смещенных атомов числом на 2-3 порядка больше количества смещений, вызванных γ -лучами

γ -излучение - стимулированная диффузия точечных дефектов, отжиг и коагуляции точечных дефектов

- Облучение α -кварца быстрыми нейtronами ($> 10^{19}$ н/см²)
- Радиационный $\alpha \rightarrow \beta$ переход
Области плавления - «пики смещения» - зародыши другой фазы $\sim 1.5\text{--}3.0$ нм остывают до средней температуры мишени за $10^{-10} - 10^{-11}$ с
- Вокруг расплавленного объема
- области механических напряжений

Полная аморфизация, $\Phi = 1 \cdot 10^{20} - 2 \cdot 10^{20}$ н/см²

Большое количество разорванных Si-O -связей

Фазовый переход $\alpha \rightarrow \beta$ - начало аморфизации

- Индукционный периодом формирования зародыши $10^{-4} - 10^{-8}$ с
- Объем «пика смещения»
- Критический флюенс зависит от структуры и состава кристалла
(разные типы кварца имеют различные примеси)

Механизм образования зародышей аморфизации при малых флюенсах ?

Образцы кварца 1x1x1 см³ с разной плотностью дефектов:

Синтетические кристаллы

- низкая плотность дислокаций $\rho = 54$ см⁻², $\rho = 570$ см⁻²

Горный хрусталь и дымчатый кварц

- различные дефекты -вакансии, дислокации, границы кристаллитов

Канал В1 реактора ВВРМ, 60°C

Плотность потока быстрых нейтронов $\Phi = 2 \cdot 10^{10} \text{ н/см}^2$

Флюенсы:

$$D_1 = 2 \cdot 10^{16} \text{ н/см}^2, D_2 = 8 \cdot 10^{17} \text{ н/см}^2,$$

$$D_3 = 2 \cdot 10^{18} \text{ н/см}^2, D_4 = 5 \cdot 10^{18} \text{ н/см}^2$$

Надатомная структура

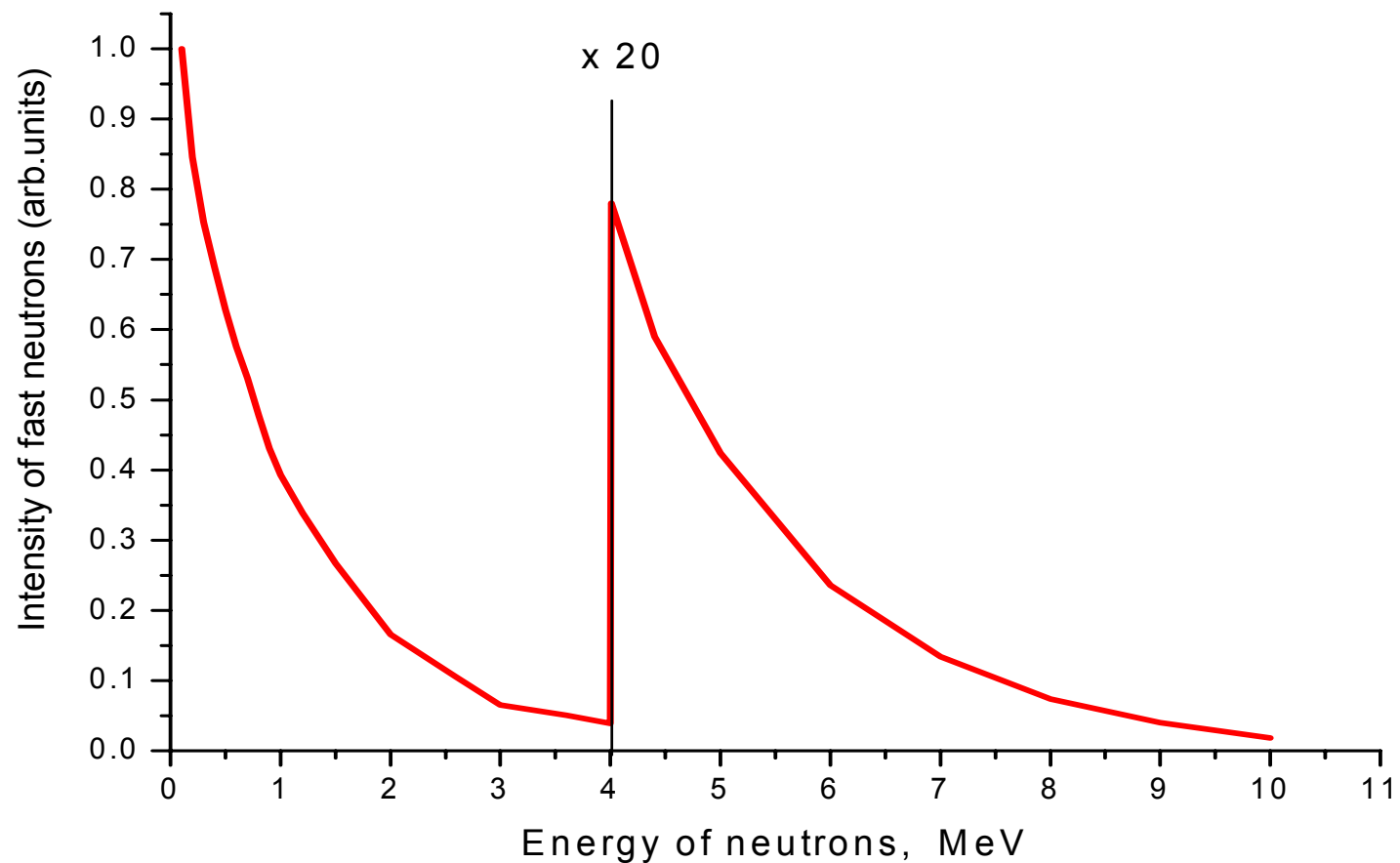
«МЕМБРАНА-2», метод малоуглового рассеяния
нейтронов

$$\lambda = 0.3 \text{ нм}, \Delta\lambda/\lambda = 0.3$$

$$\text{диапазон импульсов } q = (4\pi/\lambda)\sin(\theta/2) = 0.03-0.8 \text{ нм}^{-1}$$

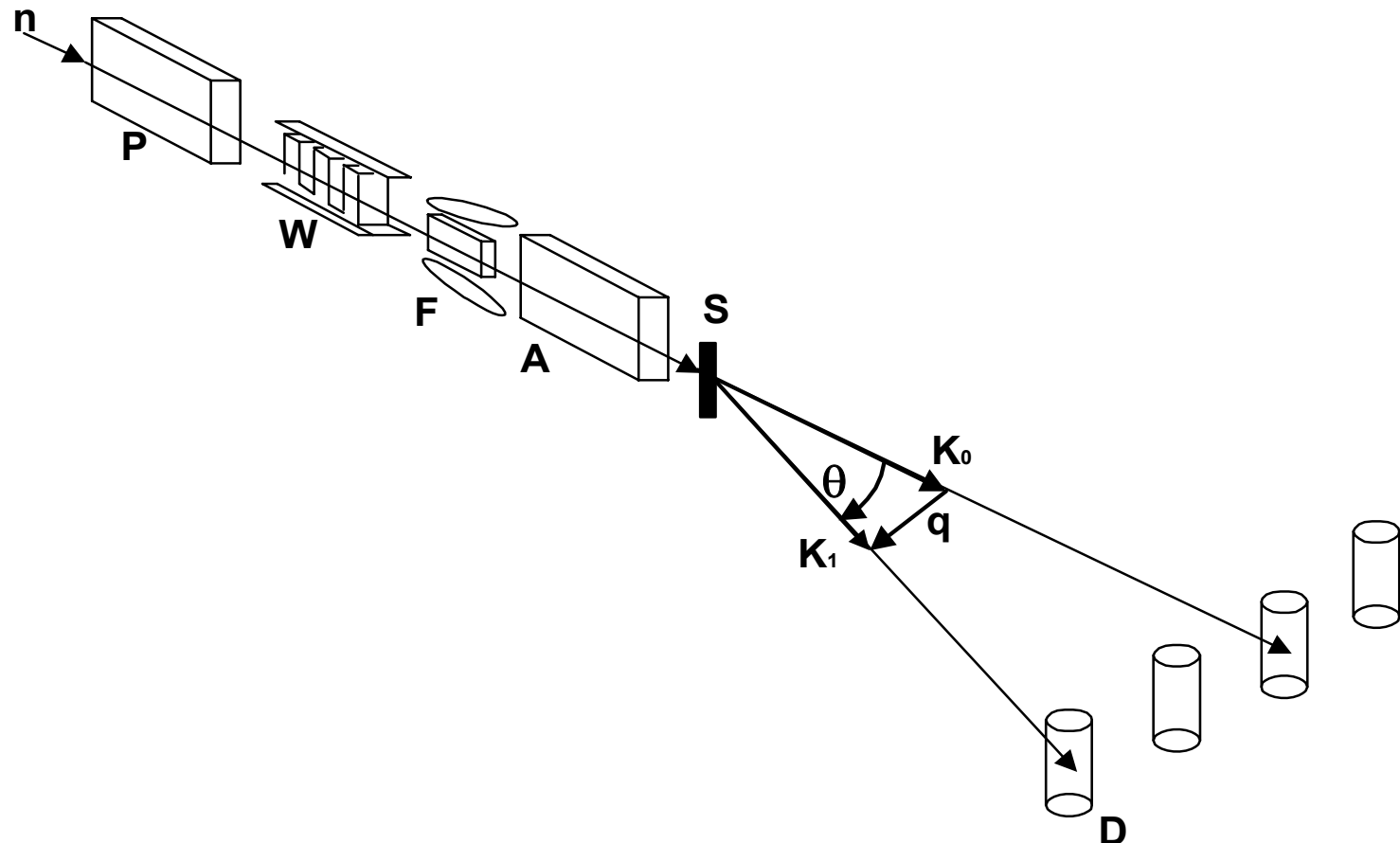
θ - угол рассеяния нейтронов

Спектр быстрых ($E_n > 0.1$ МэВ) нейтронов в канале B1 реактора ВВРМ

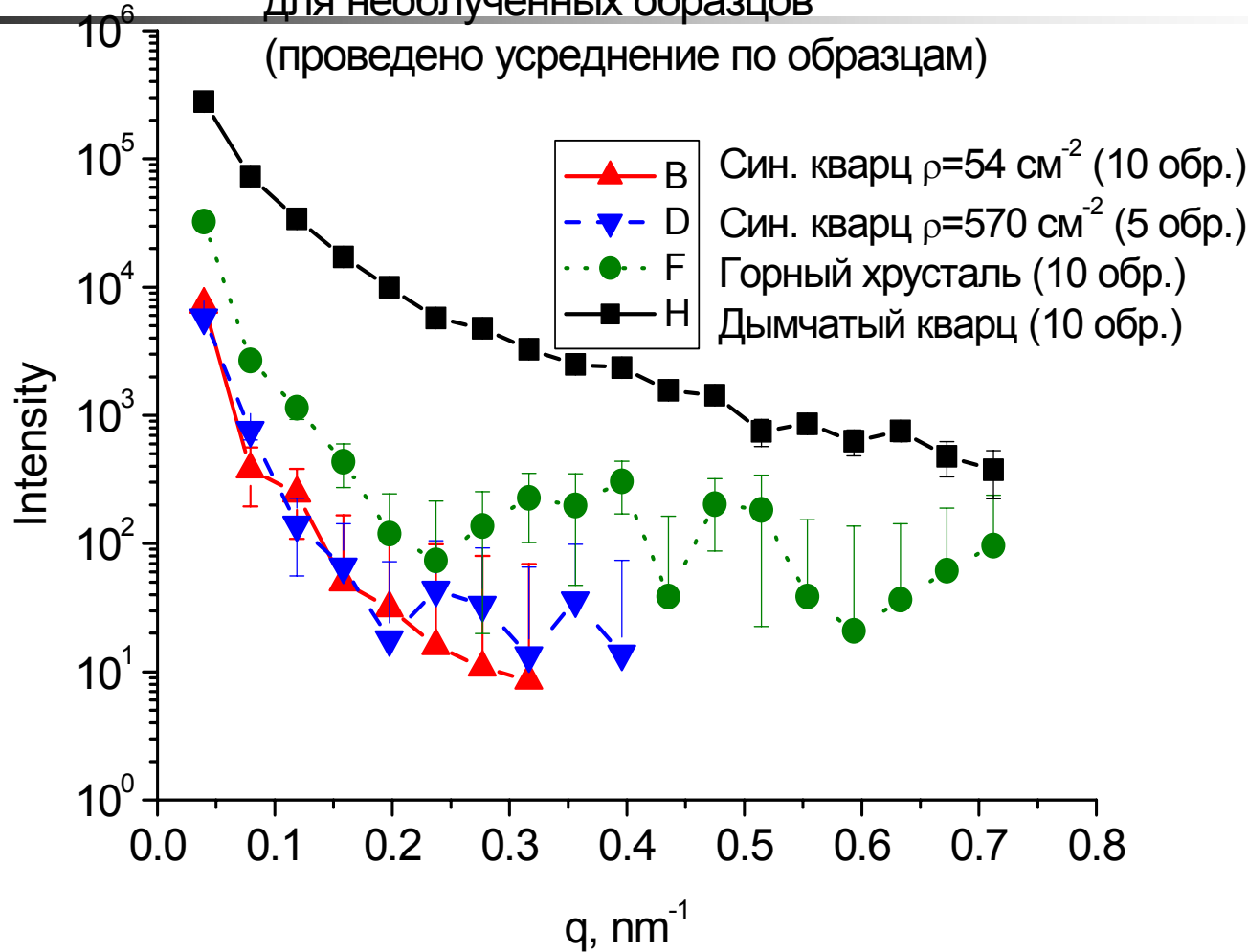


МЕМБРАНА-2

P – поляризатор, W – магнитный монохроматор, F - флиппер,
A – анализатор, S – образец, D – детектор (41 He^3 -счетчик)

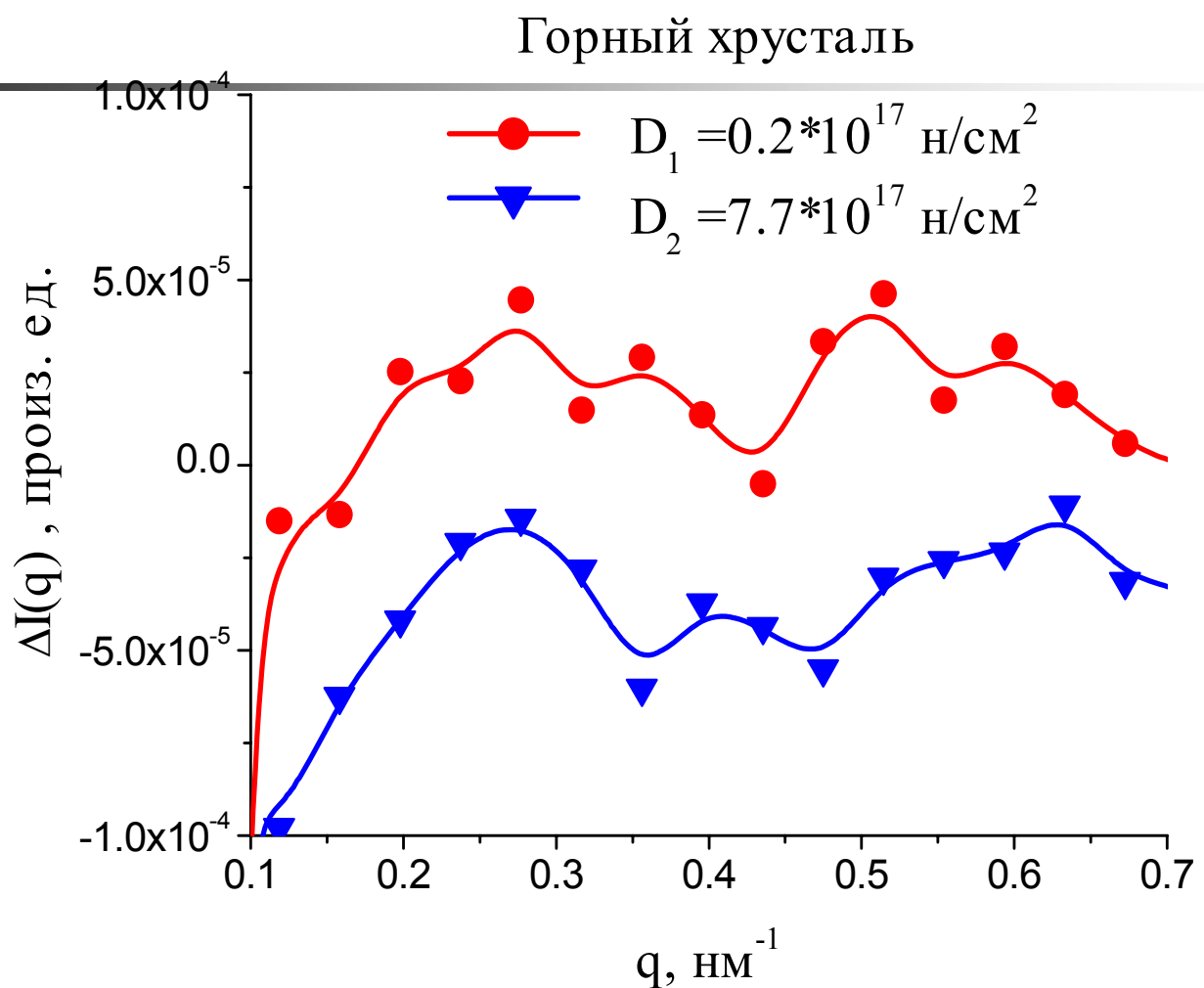


Сравнение спектров рассеянных нейтронов
для необлученных образцов
(проведено усреднение по образцам)

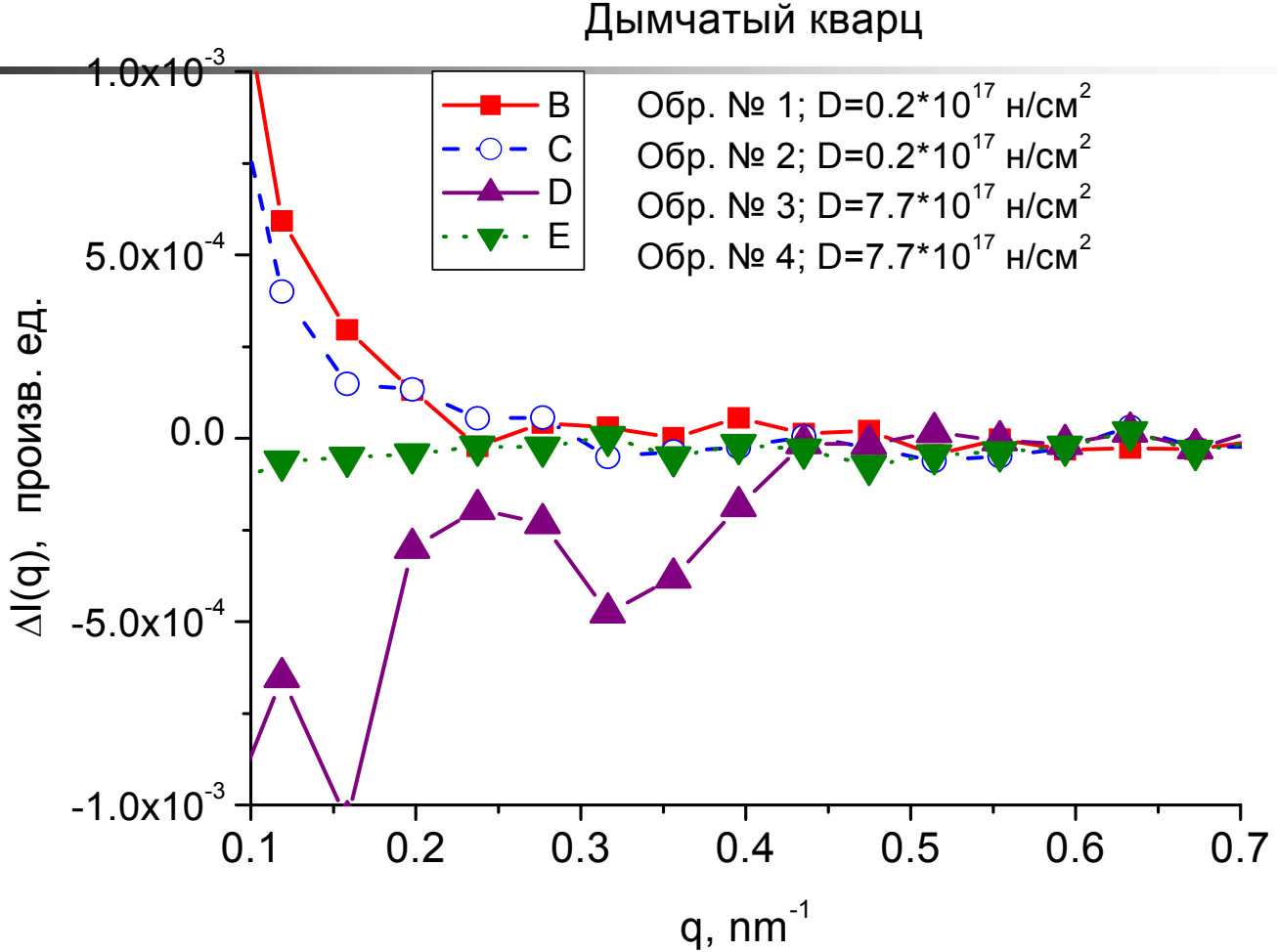


Горный хрусталь

Разностные спектры

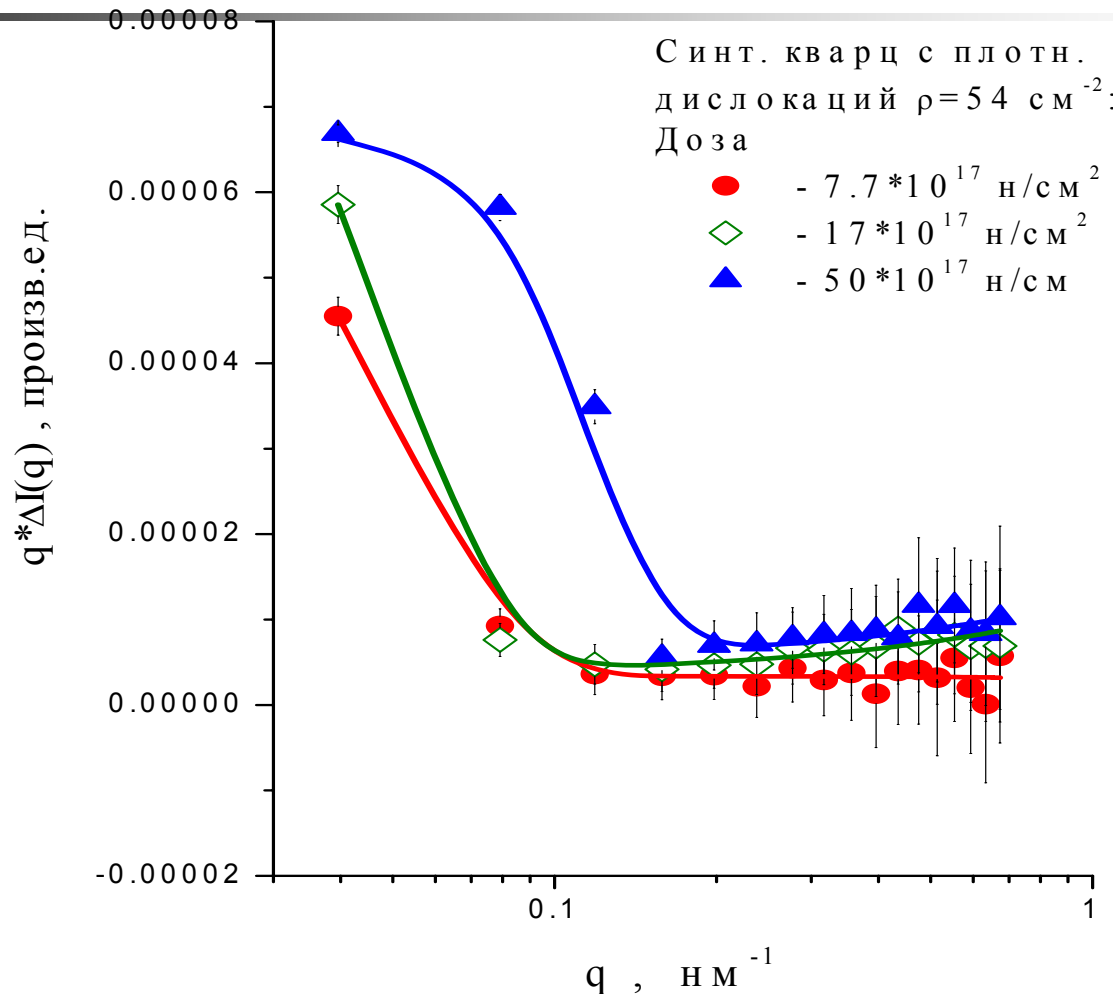


Дымчатый кварц - разностные спектры



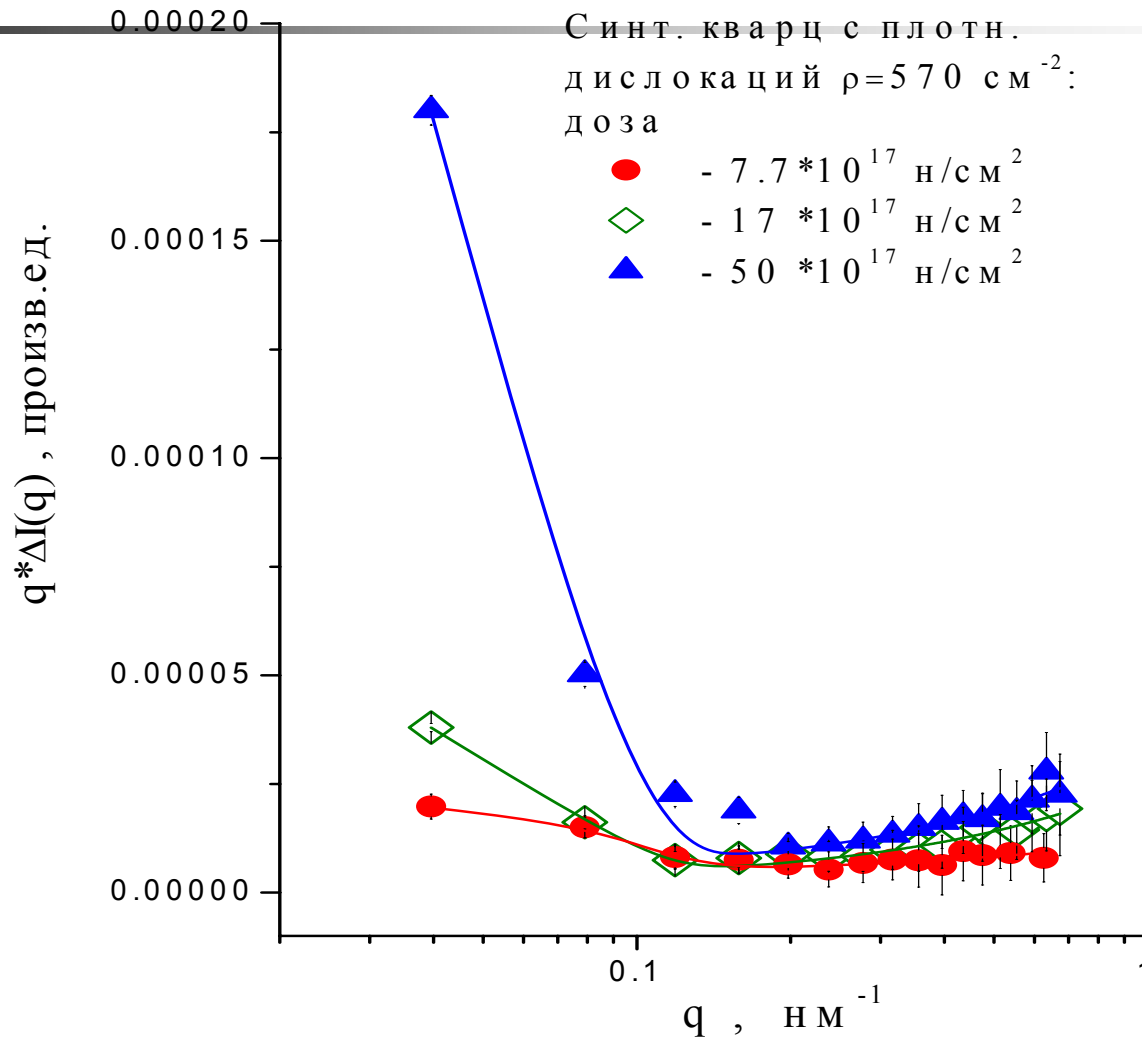
Синтетический кварц, $\rho=54 \text{ см}^{-2}$

$$\Delta I(q) = I_0 \cdot \exp[-(q \cdot R_g)^2/3] + q^{-1} A \cdot \exp[-(q \cdot r_g)^2/2] + B$$



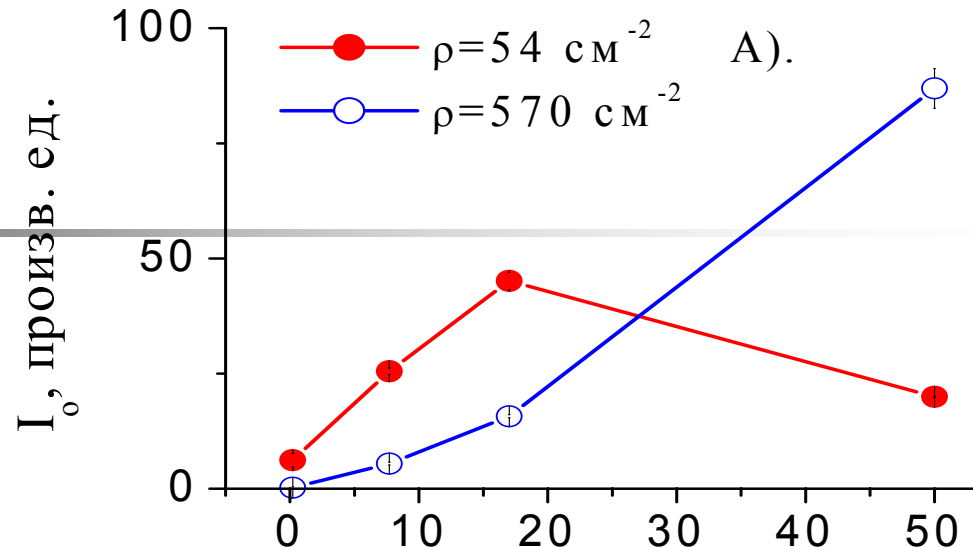
Синтетический кварц, $\rho = 570 \text{ см}^{-2}$

$$\Delta I(q) = I_0 \cdot \exp[-(q \cdot R_g)^2/3] + q^{-1} A \cdot \exp[-(q \cdot r_g)^2/2] + B$$

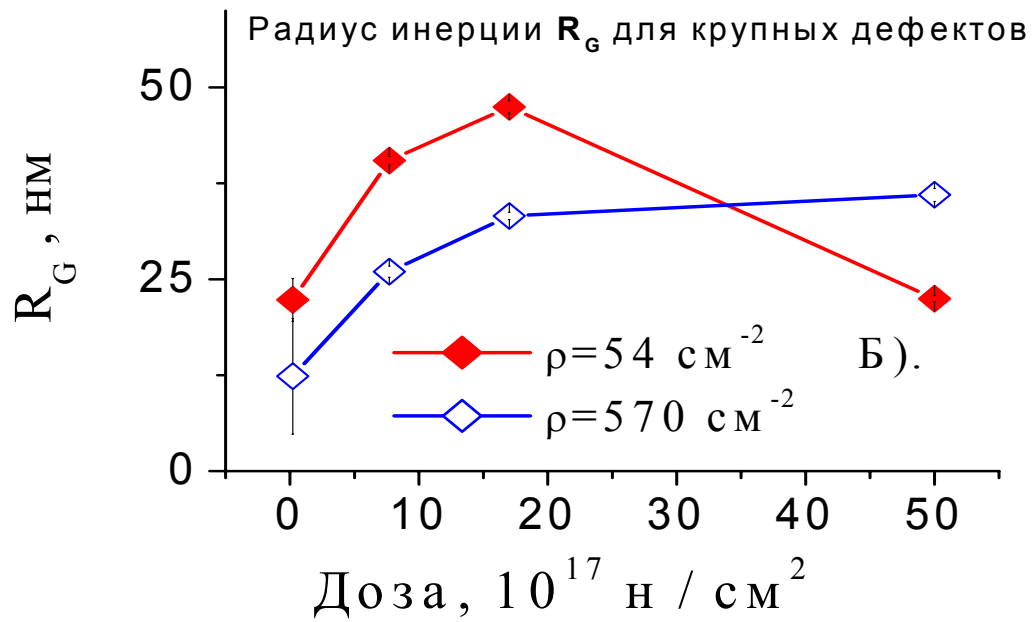


Сравнение параметров глобулярных дефектов

Интенсивность рассеяния I_0 на крупных дефектах



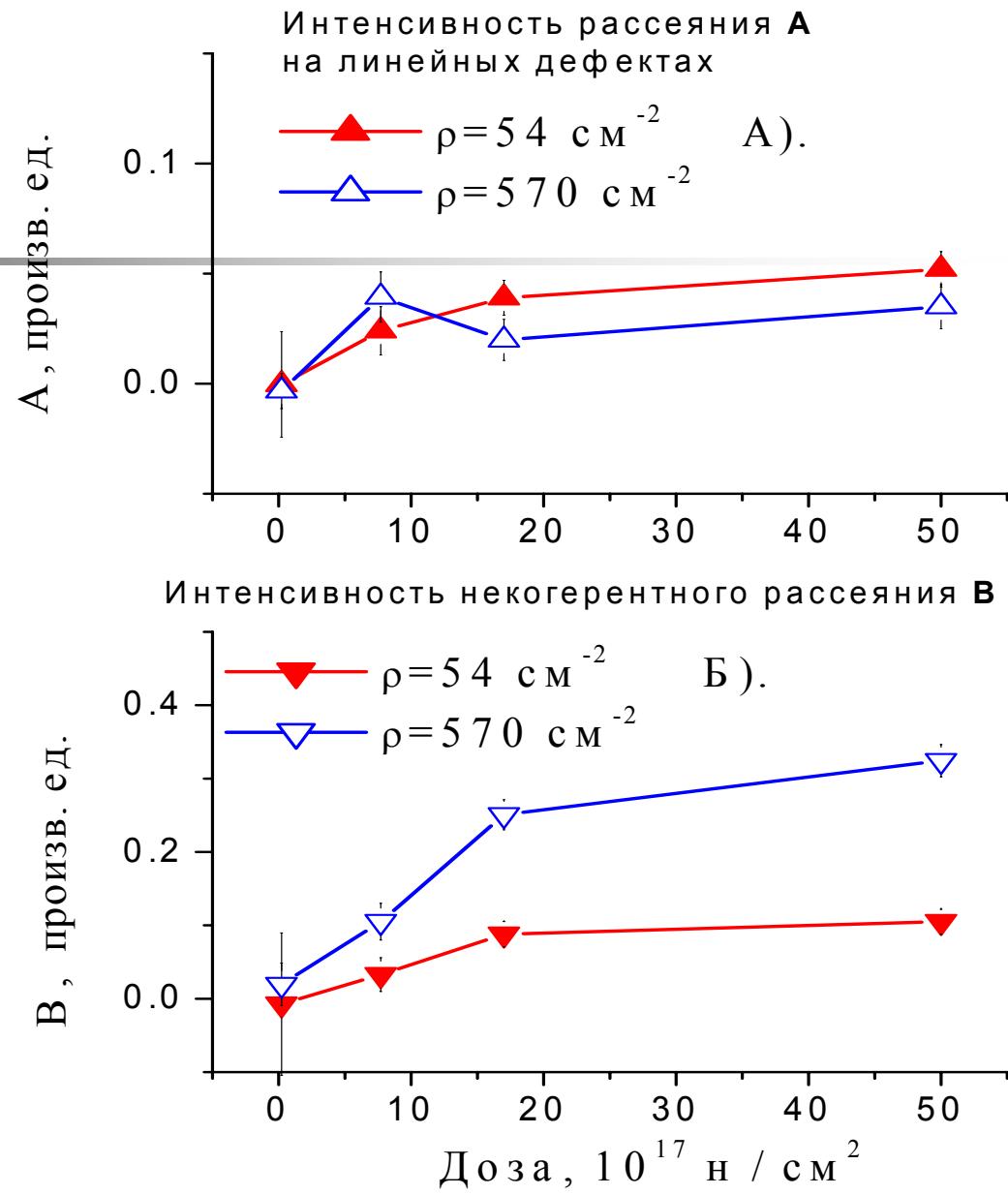
A).



Б).

Параметры линейных и точечных дефектов

Радиус каналов
 $r_g = 1.4 - 1.6$ нм
не меняется
с ростом фл.



Концентрации и объемные доли дефектов в зависимости от флюенса (N, φ)

Плотность длины когерентного ядерного рассеяния

$$\alpha\text{-кварца } (d = 2.65 \text{ г/см}^3): K = N_m b_m = 4.19 \cdot 10^{10} \text{ см}^{-2}$$

$N_m = 2.66 \cdot 10^{22} \text{ см}^{-3}$ - число молекул SiO_2 в см^3

$b_m = 1.58 \cdot 10^{-12} \text{ см}$ - когерентная длина молекулы

Контраст для крупных дефектов $\Delta K = (\Delta d/d) \cdot K$

$\Delta d/d = 10\%$ - изменение плотности из-за радиационных повреждений

$$\sigma = (\Delta K)^2 \cdot N \cdot V^2 = (\Delta K)^2 \cdot \varphi \cdot V$$

$V = (4\pi/3)R^3$ - объем дефекта

Отсюда найдены концентрации и объемные доли дефектов

Характеристики крупных дефектов в облученном кварце с начальной плотностью дислокаций $\rho = 54 \text{ см}^{-2}$

Флюенс, $\times 10^{17}$ n/cm^2	Сечение σ , см^{-1}	Радиус кластеров, R , нм	Концентрация кластеров N , 10^{12} см^{-3}	Объемная доля ϕ , %
0.2	1.39 ± 0.33	28.8 ± 3.6	7.9	0.079
7.7	5.74 ± 0.16	52.2 ± 0.7	0.92	0.055
18	10.15 ± 0.42	61.6 ± 1.0	0.60	0.059
50	4.49 ± 0.12	29.0 ± 0.5	24.5	0.25

Характеристики крупных дефектов в облученном кварце с начальной плотностью дислокаций $\rho = 570 \text{ см}^{-2}$

Доза, $\times 10^{17}$ n/cm^{-2}	Сечение σ , см^{-1}	Радиус кластеров R , нм	Концентрация кластеров N , 10^{12} см^{-3}	Объемная доля ϕ , %
0.2	0.043 ± 0.040	16.0 ± 9.7	8.3	0.014
7.7	1.23 ± 0.07	33.6 ± 0.9	2.8	0.044
18	3.54 ± 0.08	42.9 ± 0.6	1.8	0.061
50	19.6 ± 1.0	46.6 ± 1.1	6.3	0.26

Дефекты локализуются на дислокациях и не коагулируют
При большем числе дислокаций дефекты более мелкие
Сохраняется суммарный объем дефектов

Характеристики точечных дефектов в облученном искусственном кварце

Флюенс, 10^{17} н/см^2	Сечение σ_p , см^{-1} ,		Объемная доля «точечных» дефектов ϕ , %	
	$\rho = 54 \text{ см}^{-2}$	$\rho = 570 \text{ см}^{-2}$	$\rho = 54 \text{ см}^{-2}$	$\rho = 570 \text{ см}^{-2}$
0.2	-	0.0044 ± 0.0040	-	0.3
7.7	0.007 ± 0.005	0.024 ± 0.006	0.4	1
18	0.020 ± 0.004	0.056 ± 0.004	1	3
50	0.024 ± 0.004	0.073 ± 0.005	1	4

Линейные радиационные повреждения

$A = \pi \cdot \Delta K_L^2 \cdot V_L^2 N_L / L$, $\Delta K_L = 0.1 \cdot K$ - контраст,

L – длина, $V_L = \pi r^2 L$ – объем, N_L – число каналов в см³

$\rho = 54 \text{ см}^{-2}$

Флюенс, $10^{17} \text{ н/см}^{-2}$	Параметр $A, 10^4 \text{ см}^{-2}$	Суммарная длина, $L_T, 10^{10} \text{ см/см}^3$	Объемная доля каналов $\varphi_L, \%$
0.2	-	-	-
7.7	5.4 ± 2.5	6.2 ± 2.8	0.8 ± 0.4
18	8.8 ± 1.8	10.1 ± 2.1	1.3 ± 0.3
50	11.7 ± 1.8	13.4 ± 2.1	1.7 ± 0.3

$\rho = 570 \text{ см}^{-2}$

Флюенс, $10^{17} \text{ н/см}^{-2}$	$A, 10^4 \text{ см}^{-2}$	Суммарная длина, $L_T, 10^{10} \text{ см/см}^3$	Объемная доля каналов $\varphi_L, \%$
0.2	-	-	-
7.7	8.9 ± 2.5	10.2 ± 2.9	1.3 ± 0.4
18	4.5 ± 2.0	5.1 ± 2.3	0.6 ± 0.3
50	7.9 ± 2.3	9.0 ± 2.6	1.1 ± 0.3

Заключение

1. Крупные дефекты размером 40-50 нм занимают объем $\sim 0.3\%$ при флюенсе $5 \cdot 10^{18} \text{ н/см}^{-2}$
2. Основной объем повреждений $\sim 5\%$ приходится на точечные и линейные дефекты (вклады 1- 4 %)
3. Радиационные каналы радиусом ~ 2 нм имеют интегральную длину $L_T \sim 10^{11} \text{ см/см}^3$ при умеренном флюенсе $8 \cdot 10^{17} \text{ н/см}^{-2}$
4. Каналы длиной L_1 могут образовать «протекаемую» сетку (на связь приходится объем L_1^3) суммарной длиной $L_T \sim 10^{11} \text{ см/см}^3 = L_1 / L_1^3$, где длина связи равна $L_1 \sim 1/\sqrt[3]{L_T} \sim 30 \text{ нм}$
5. Максимум распределения смещенных атомов вдоль пробега в кварце находится на расстоянии 36 -130 нм для выбитых ионов кислорода и 18-80 нм для ионов кремния, поэтому образование связной сетки с длиной шага ~ 30 нм реально !



MERRY CHRISTMAS & HAPPY NEW YEAR!

I MIGLIORI AUGURI DI BUONE FESTE!



STUDIO D'INGEGNERIA ROGANTE